

6.6 零、极点分布与时域响应特性

$$f(t) \longleftrightarrow F(s)$$

$$h(t) \longleftrightarrow H(s)$$

$H(s)$ 能否反映 $h(t)$ 的特性?

6.6.1 零点与极点的概念

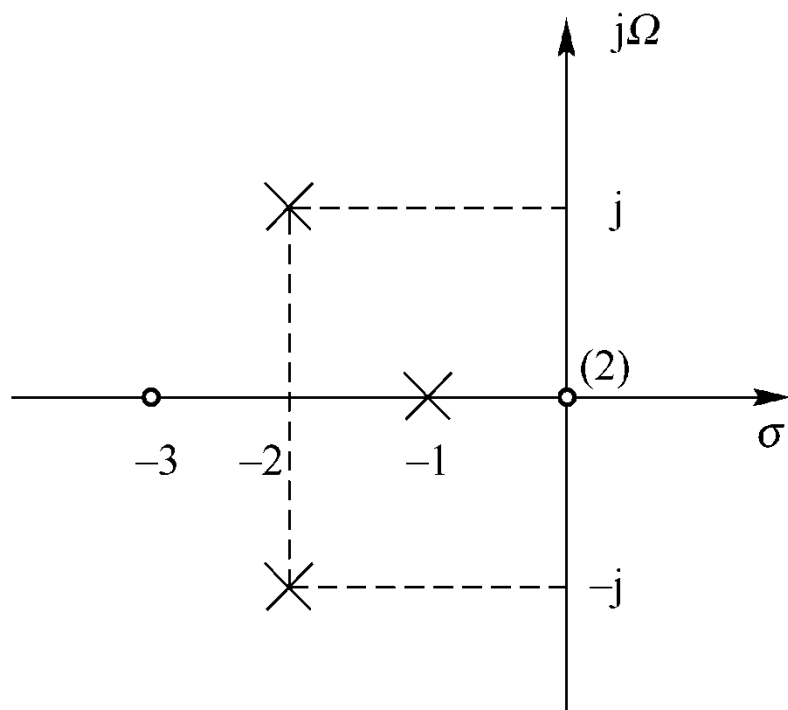
$$H(s) = \frac{b_m s^m + b_{m-1} s^{m-1} + \cdots + b_1 s + b_0}{a_n s^n + a_{n-1} s^{n-1} + \cdots + a_1 s + a_0} = \frac{B(s)}{A(s)}$$

若 $\lim_{s \rightarrow p_i} H(s) = \infty$, 则 p_i 为极点;

若 $\lim_{s \rightarrow z_i} H(s) = 0$, 则 z_i 为零点。

6.6.1 零点与极点的概念

$$H(s) = \frac{s^2(s+3)}{(s+1)(s^2+4s+5)} = \frac{s^2(s+3)}{(s+1)(s+2+j1)(s+2-j1)}$$



极点:
$$\begin{cases} p_1 = -1 \\ p_2 = -2 - j \\ p_3 = -2 + j \end{cases}$$

零点:
$$\begin{cases} z_1 = z_2 = 0 \\ z_3 = -3 \end{cases}$$

6.6.1 零点与极点的概念

系统函数一般有 n 个有限的极点和 m 个有限的零点。

如果 $n > m$ 时, $\lim_{s \rightarrow \infty} H(s) = \lim_{s \rightarrow \infty} b_m s^{m-n} / a_n = 0$, 所以

$H(s)$ 在无穷远处有一个 $(n-m)$ 阶零点。

如果 $n < m$ 时, $\lim_{s \rightarrow \infty} H(s) = \lim_{s \rightarrow \infty} b_m s^{m-n} / a_n = \infty$, 所以

$H(s)$ 在无穷远处有一个 $(n-m)$ 阶极点。

$H(s)$ 在 s 平面中零极点分布特点:

1. 若系统为实系统, 则 $H(s)$ 的零极点为复数零极点必然成对地出现。
2. $H(s)$ 的零点数和极点数必然相等。

只要知道 $H(s)$ 在 s 平面中零极点分布  $h(t)$ 波形的特性

6.6.2 零、极点分布与时域响应特性

1. 一阶极点

$$H(s) = \frac{H_0 \prod_{j=1}^m (s - z_j)}{\prod_{i=1}^n (s - p_i)}$$

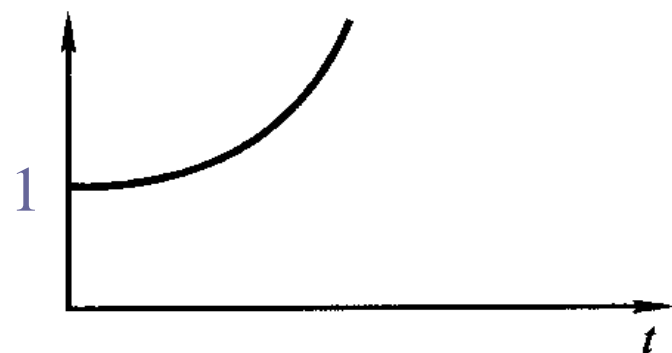
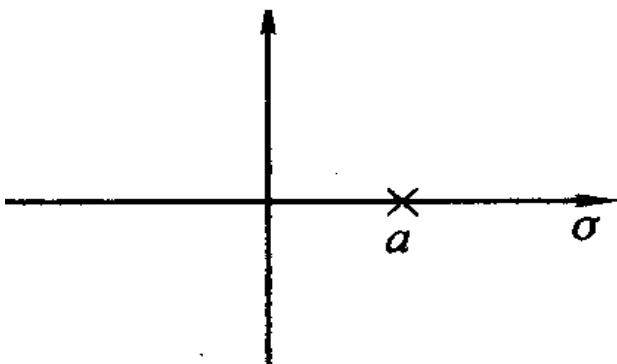
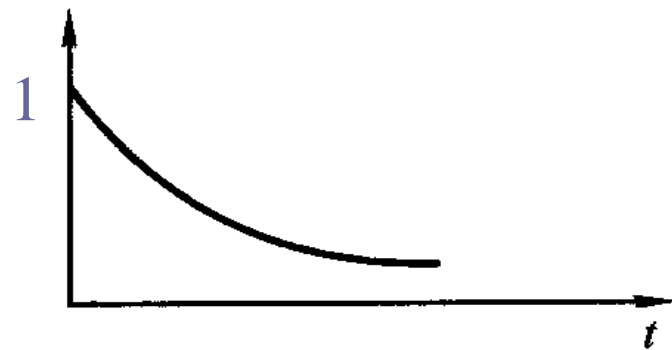
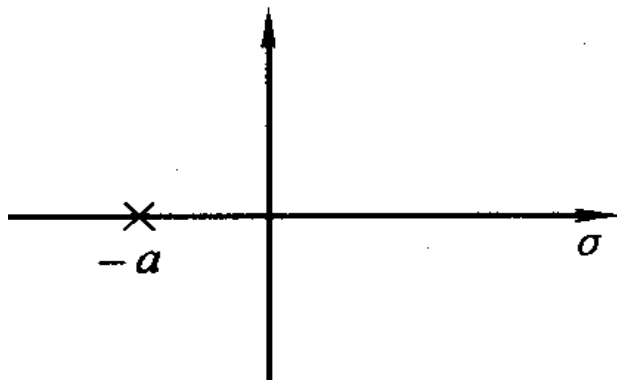
$$H(s) = \sum_{i=1}^n H_i(s) = \sum_{i=1}^n \frac{K_i}{s - p_i}$$

$$h(t) = \mathcal{L}^{-1} \left[\sum_{i=1}^n \frac{K_i}{s - p_i} \right] = \sum_{i=1}^n K_i e^{p_i t}$$

6.6.2 零、极点分布与时域响应特性

(1) 极点位于 s 平面坐标原点, 如 $H(s) = \frac{1}{s} \leftrightarrow h(t) = u(t)$

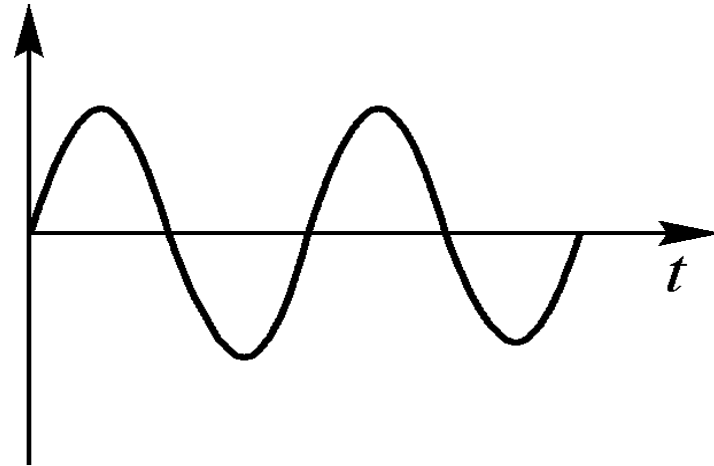
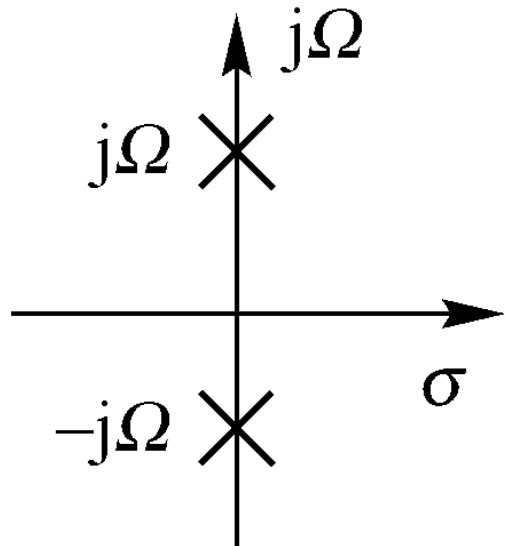
(2) 若极点位于 s 平面实轴上, 如 $H(s) = \frac{s_1}{s+a} \leftrightarrow h(t) = e^{-at}u(t)$



6.6.2 零、极点分布与时域响应特性

(3) 虚轴上的共轭极点给出等幅振荡，如

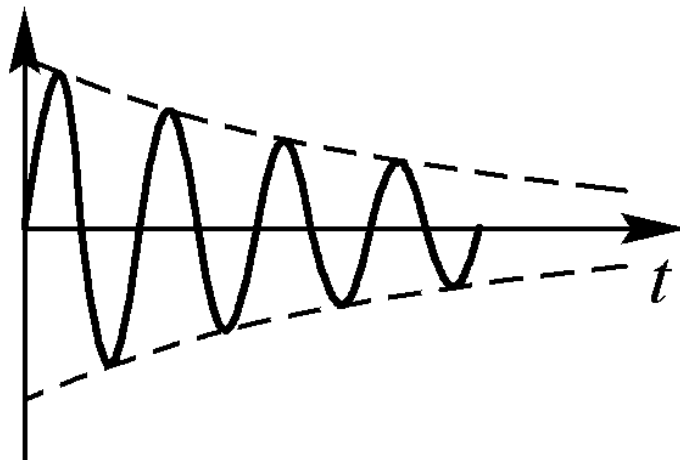
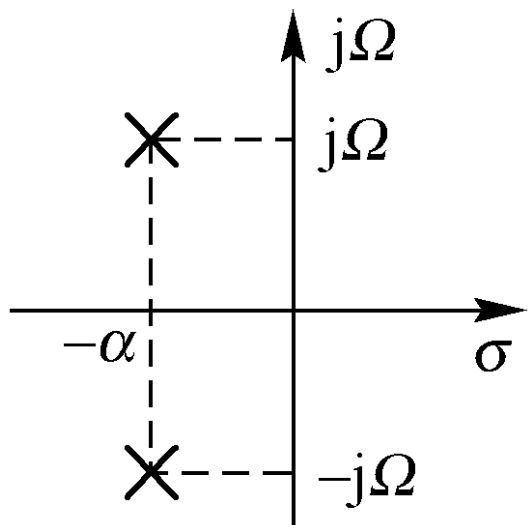
$$H(s) = \frac{\Omega}{s^2 + \Omega^2} \leftrightarrow h(t) = \sin \Omega t u(t)$$



6.6.2 零、极点分布与时域响应特性

(4) 左半 s 平面内共轭极点对，如

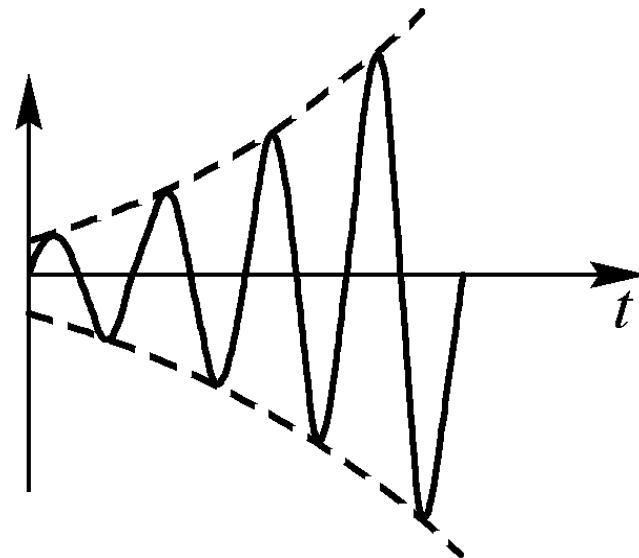
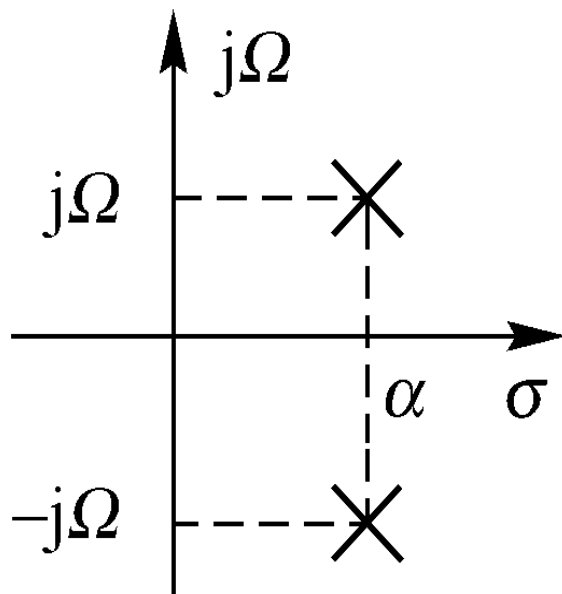
$$H(s) = \frac{\Omega}{(s+a)^2 + \Omega^2} \leftrightarrow h(t) = e^{-at} \sin \Omega t u(t) \quad (a > 0)$$



6.6.2 零、极点分布与时域响应特性

(5) 右半s平面内共轭极点对，如

$$H(s) = \frac{\Omega}{(s-a)^2 + \Omega^2} \leftrightarrow h(t) = e^{at} \sin \Omega t u(t) \quad (a > 0)$$

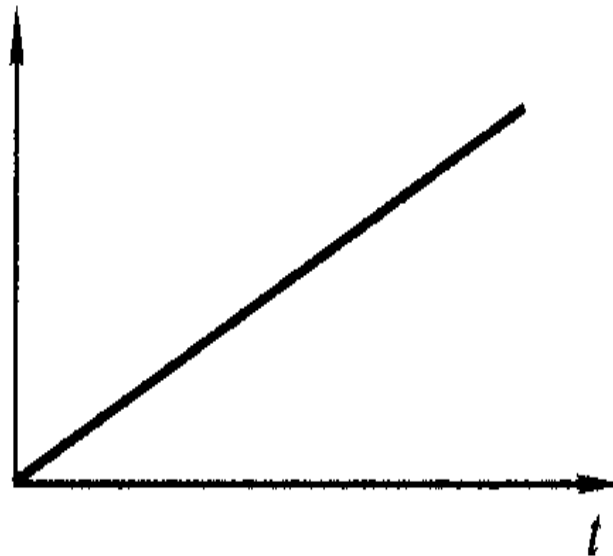
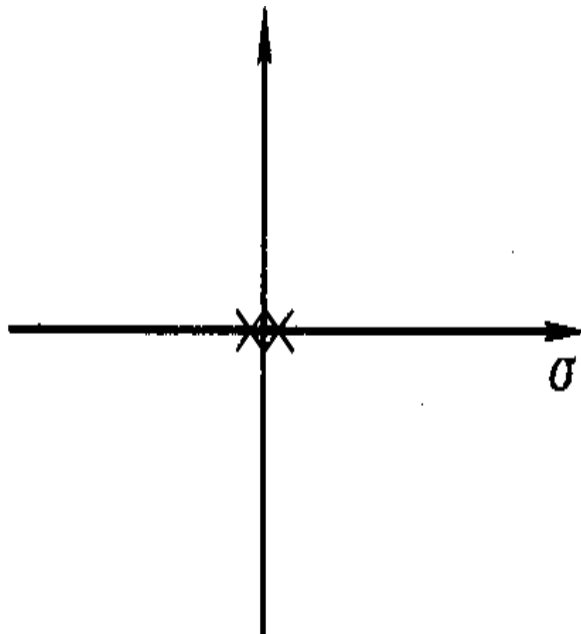


6.6.2 零、极点分布与时域响应特性

2. 二阶极点

(1) s 平面坐标原点的二阶极点，如

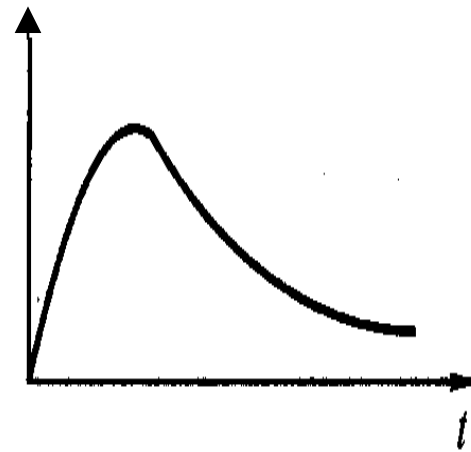
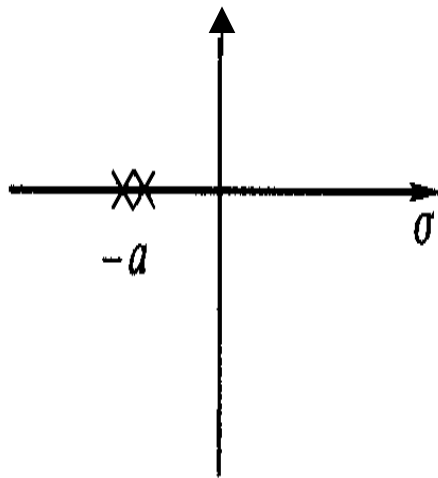
$$H(s) = \frac{1}{s^2} \leftrightarrow h(t) = tu(t)$$



6.6.2 零、极点分布与时域响应特性

(2) 负实轴上的二阶极点

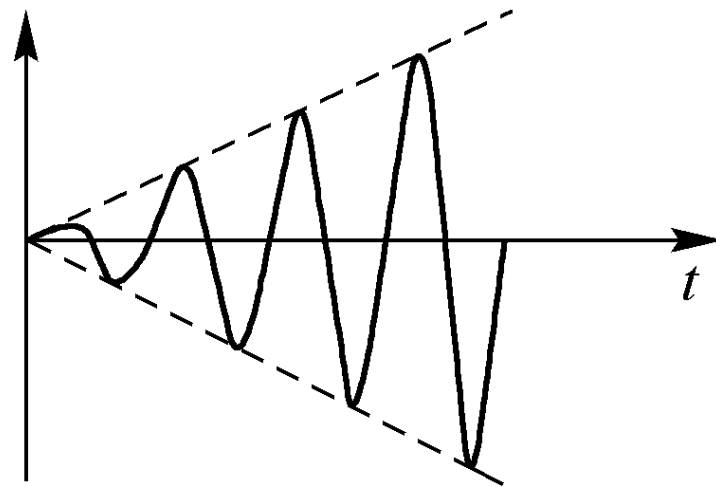
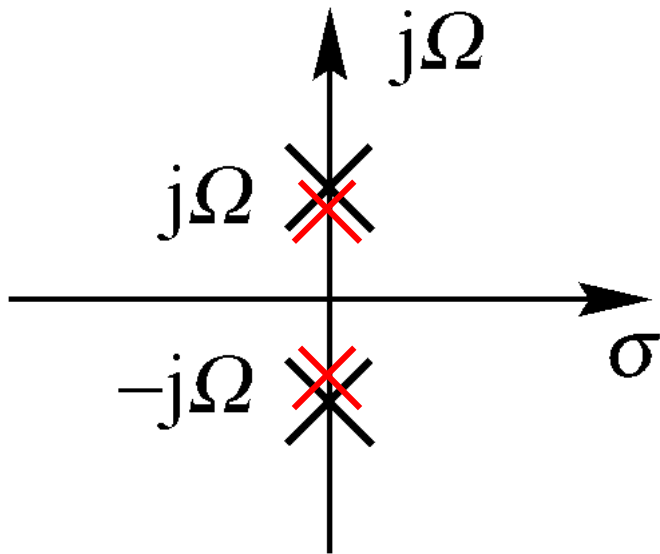
$$H(s) = \frac{1}{(s+a)^2} \leftrightarrow h(t) = te^{-at}u(t) \quad (a > 0)$$



6.6.2 零、极点分布与时域响应特性

(3) 虚轴上的二阶共轭极点，如

$$H(s) = \frac{2\Omega s}{(s^2 + \Omega^2)^2} \leftrightarrow h(t) = t \sin \Omega t u(t)$$



6.6.2 零、极点分布与时域响应特性

结论：

极点：

- 左半 s 平面 $\rightarrow h(t)$ 衰减
- 右半 s 平面 $\rightarrow h(t)$ 增长
- 虚轴上
 - 一阶极点 $\rightarrow h(t)$ 等幅振荡或阶跃
 - 二阶极点 $\rightarrow h(t)$ 呈增长形式

$h(t)$ 衰减 稳定系统（极点在左半 s 平面）

$h(t)$ 增长 非稳定系统（极点在右半 s 平面）

如果在虚轴上 \rightarrow

- 一阶：阶跃或等幅振荡（临界稳定）
- 二阶以上：不稳定系统

6.6.2 零、极点分布与时域响应特性

$H(s)$ 零点的位置对系统的特性有何影响呢？

考虑如下两个系统：

$$H_1(s) = \frac{s + \alpha}{(s + \alpha)^2 + \Omega^2} \quad h_1(t) = \mathcal{L}^{-1}[H_1(s)] = e^{-\alpha t} \cos \Omega t$$

$$H_2(s) = \frac{s}{(s + \alpha)^2 + \Omega^2} = \frac{s + \alpha}{(s + \alpha)^2 + \Omega^2} - \frac{\frac{\alpha}{\Omega} \Omega}{(s + \alpha)^2 + \Omega^2}$$

$$h_2(t) = \mathcal{L}^{-1}[H_2(s)] = e^{-\alpha t} \left[\cos \Omega t - \frac{\alpha}{\Omega} \sin \Omega t \right] = e^{-\alpha t} A \cos(\Omega t + \varphi)$$

其中：

$$A = \sqrt{1 + \left(\frac{\alpha}{\Omega}\right)^2}, \quad \varphi = \arctan \frac{\alpha}{\Omega}$$

结论： $H(s)$ 的零点只影响 $h(t)$ 的幅度和相位，而不影响形状。

6.6.3 自由响应与强迫响应、暂态响应与稳态响应

$$Y(s) = H(s)X(s)$$

设:

$$H(s) = \frac{\prod_{j=1}^m (s - z_j)}{\prod_{i=1}^n (s - p_i)}, \quad X(s) = \frac{\prod_{l=1}^u (s - z_l)}{\prod_{k=1}^v (s - p_k)}$$

$$Y(s) = \sum_{i=1}^n \frac{K_i}{s - p_i} + \sum_{k=1}^v \frac{K_k}{s - p_k}$$

$$y(t) = \sum_{i=1}^n K_i e^{p_i t} + \sum_{k=1}^v K_k e^{p_k t}$$

自由响应

强迫响应

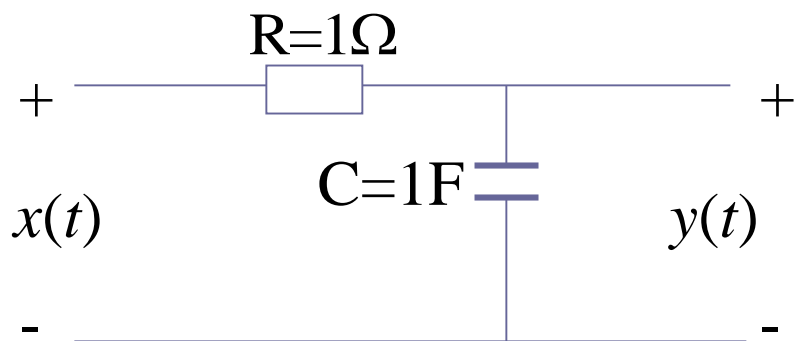
1. $H(s)$ 的极点影响 $h(t)$ 的形状。

2. $H(s)$ 的零点只影响 $h(t)$ 的幅度和相位，而不影响形状。

结论：对系统稳定性而言，极点是主要矛盾，零点是次要矛盾。

6.6.3 自由响应与强迫响应、暂态响应与稳态响应

例6.6-1: 电路如图所示, 输入信号 $x(t)=5\cos 2t u(t)$, 求输出电压 $y(t)$, 并指出 $y(t)$ 中的自由响应和强迫响应分量。



解:

$$H(s) = \frac{Y(s)}{X(s)} = \frac{\frac{1}{sC}}{R + \frac{1}{sC}} = \frac{1}{s+1}$$

$$X(s) = \frac{5s}{s^2 + 4}$$

$$Y(s) = X(s)H(s) = \frac{5s}{(s+1)(s^2+4)} = \frac{-1}{s+1} + \frac{s+4}{s^2+4}$$

$$y(t) = -e^{-t} + \cos 2t + 2 \sin 2t$$

$$= -e^{-t} + \sqrt{5} \cos(2t - 63.4^\circ) \quad t \geq 0$$

自由响应 强迫响应

6.6.3 自由响应与强迫响应、暂态响应与稳态响应

暂态响应：激励信号接入以后一段时间内，全响应中暂时出现的分量，随着时间 t 的增大，它将逐渐消失。

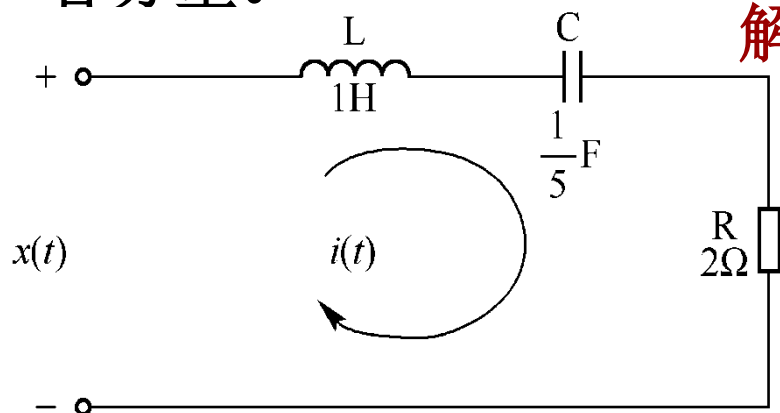
稳态响应：全响应减去暂态响应就是稳态响应。

$H(s)$ 的极点：{
左半 s 平面 → 自由响应属于暂态响应
虚轴
右半 s 平面 } → 自由响应属于稳态响应

$X(s)$ 的极点：{
左半 s 平面 → 强迫响应属于暂态响应
虚轴
右半 s 平面 } → 强迫响应属于稳态响应

6.6.3 自由响应与强迫响应、暂态响应与稳态响应

例6.6-2： 电路如图所示，输入信号 $x(t)$ ，并指出 $i(t)$ 中的自由响应与强迫响应、暂态响应与稳态响应各分量。



解： (1) 求激励信号 $x(t)$ 的拉氏变换 $X(s)$

$$X(s) = \frac{2}{s^2 + 1} = \frac{2}{(s - j)(s + j)}$$

其中： $p_{1,2} = \pm j$

(2) 求系统函数 $H(s)$

$$H(s) = \frac{I(s)}{X(s)} = \frac{1}{sL + R + \frac{1}{sC}} = \frac{s}{s^2 + 2s + 5} = \frac{s}{(s + 1)^2 + 4}$$

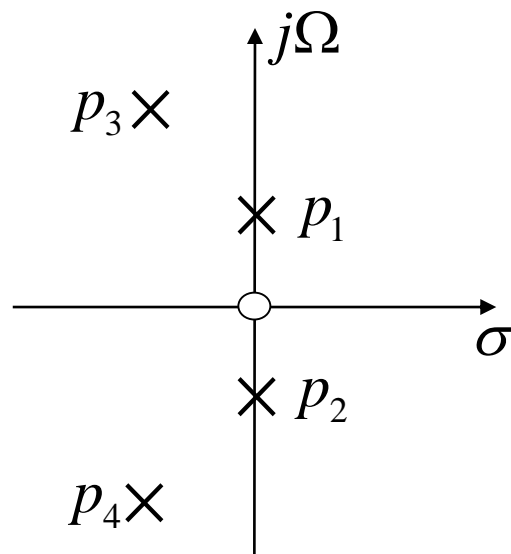
其中： $p_{3,4} = -1 \pm 2j$

6.6.3 自由响应与强迫响应、暂态响应与稳态响应

$I(s)$ 的零、极点分布如图所示。

(3) 响应电流的拉氏变换为

$$\begin{aligned} I(s) &= \mathcal{L}[i(t)] = H(s)X(s) \\ &= \frac{2s}{(s-p_1)(s-p_2)(s-p_3)(s-p_4)} \\ &= \frac{2s}{(s^2+1)(s^2+2s+5)} \end{aligned}$$



(4) 将 $I(s)$ 做部分分式展开

$$I(s) = \frac{2s+1}{5(s^2+1)} - \frac{2s+5}{5(s^2+2s+5)} = \frac{2s+1}{5(s^2+1)} - \frac{2(s+1)+3}{5[(s+1)^2+2^2]}$$

6.6.3 自由响应与强迫响应、暂态响应与稳态响应

(5) 求各响应分量

极点 p_1, p_2 位于 s 平面虚轴上, 是系统的稳态响应分量, 以 $i_{ss}(t)$ 表示

极点 p_3, p_4 位于左半 s 平面上, 是系统的暂态响应分量, 以 $i_{tr}(t)$ 表示

$$i_{ss}(t) = \frac{1}{5} \sin t + \frac{2}{5} \cos t \quad i_{tr}(t) = -\left(\frac{3}{10} e^{-t} \sin 2t + \frac{2}{5} e^{-t} \cos 2t \right)$$

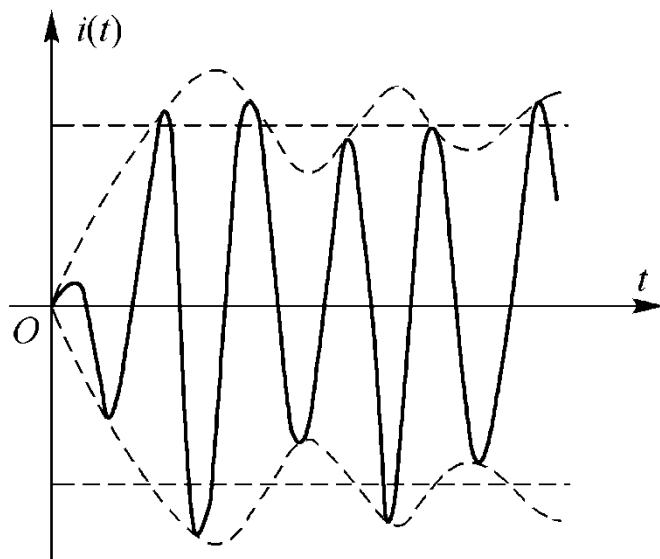
6.6.3 自由响应与强迫响应、暂态响应与稳态响应

一般情况下，RLC回路的谐振频率 $\Omega = 1/\sqrt{LC}$ 未调得与激励频率一致，在暂态过程中，回路电流包含两个频率成分。

(1) 取决于回路参量确定的自然谐振频率 $\Omega_d = \sqrt{\frac{1}{LC} - \left(\frac{R}{2L}\right)^2}$

(2) 取决于激励信号频率 Ω_0

两个频率较靠近的振荡在回路中产生差拍，致使电流幅度在建立过程中先随时间增长，然后围绕其稳定值起伏振荡。



6.7 系统函数零、极点分布确定频率响应

系统的频响特性 $H(j\Omega)$ 反映系统的频域特性，当LTI连续系统在频率为 Ω_0 的正弦信号激励下，系统的响应为同频率的正弦信号，但幅度乘以 $|H(j\Omega_0)|$ ，相位附加 $\varphi(\Omega_0)$ 。

$$H(j\Omega_0) = |H(j\Omega_0)| e^{j\varphi(\Omega_0)}$$

当系统稳定时，系统函数的收敛域包含s平面的虚轴，因此系统的频响特性可以由系统函数求出

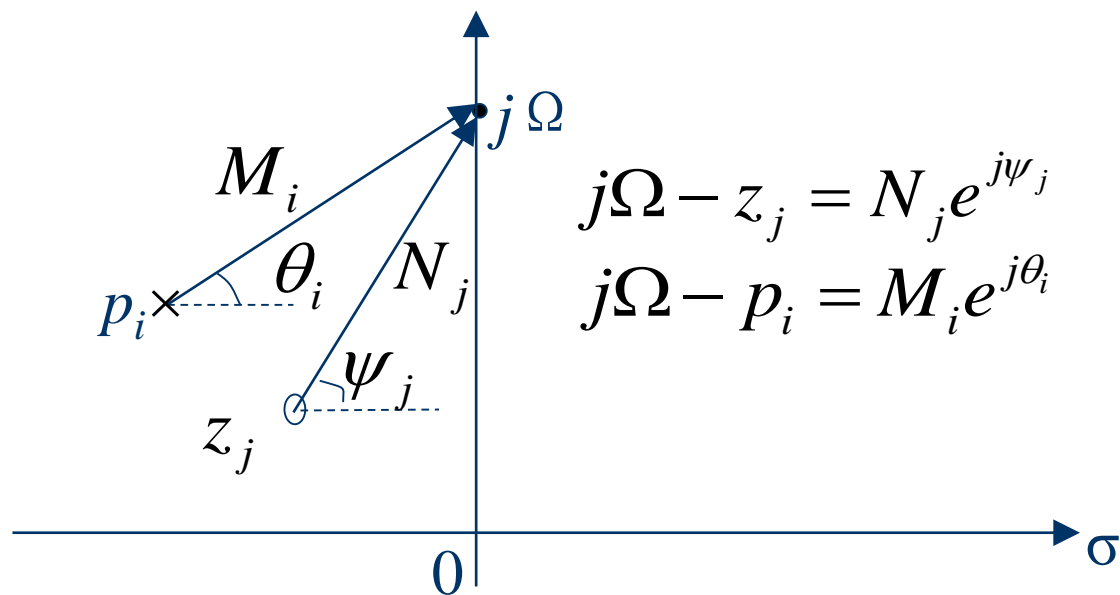
$$H(s)|_{s=j\Omega} = H(j\Omega) = |H(j\Omega)| e^{j\varphi(\Omega)}$$

$|H(j\Omega)|$ 是幅频响应特性（或称幅频特性）

$\varphi(\Omega)$ 是相频响应特性（或称相频特性）

6.7.1 频响特性的矢量作图法

$$H(s) = H_0 \frac{\prod_{j=1}^m (s - z_j)}{\prod_{i=1}^n (s - p_i)} \quad \longrightarrow \quad H(j\Omega) = H_0 \frac{\prod_{j=1}^m (j\Omega - z_j)}{\prod_{i=1}^n (j\Omega - p_i)}$$



$$j\Omega - z_j = N_j e^{j\psi_j}$$
$$j\Omega - p_i = M_i e^{j\theta_i}$$

$j\Omega - z_j$ 和 $j\Omega - p_i$ 矢量

Show

6.7.1 频响特性的矢量作图法

$$H(j\Omega) = H_0 \frac{\prod_{j=1}^m (j\Omega - z_j)}{\prod_{i=1}^n (j\Omega - p_i)}$$
$$j\Omega - z_j = N_j e^{j\psi_j}$$
$$j\Omega - p_i = M_i e^{j\theta_i}$$

$$H(j\Omega) = H_0 \frac{N_1 e^{j\psi_1} N_2 e^{j\psi_2} \dots N_m e^{j\psi_m}}{M_1 e^{j\theta_1} M_2 e^{j\theta_2} \dots M_n e^{j\theta_n}}$$
$$= H_0 \frac{N_1 N_2 \dots N_m}{M_1 M_2 \dots M_n} e^{j[(\psi_1 + \psi_2 + \dots + \psi_m) - (\theta_1 + \theta_2 + \dots + \theta_n)]}$$

$$|H(j\Omega)| = H_0 \frac{N_1 N_2 \dots N_m}{M_1 M_2 \dots M_n}$$

$$\varphi(\Omega) = (\psi_1 + \psi_2 + \dots + \psi_m) - (\theta_1 + \theta_2 + \dots + \theta_n)$$

6.7.1 频响特性的矢量作图法

例6.7-1 已知系统函数为 $H(s) = \frac{1}{s^3 + 2s^2 + 2s + 1}$ ，试求 $\Omega = 1$ 时的 $|H(j1)|$ 和 $\varphi(1)$ 。

解： 进行因式分解

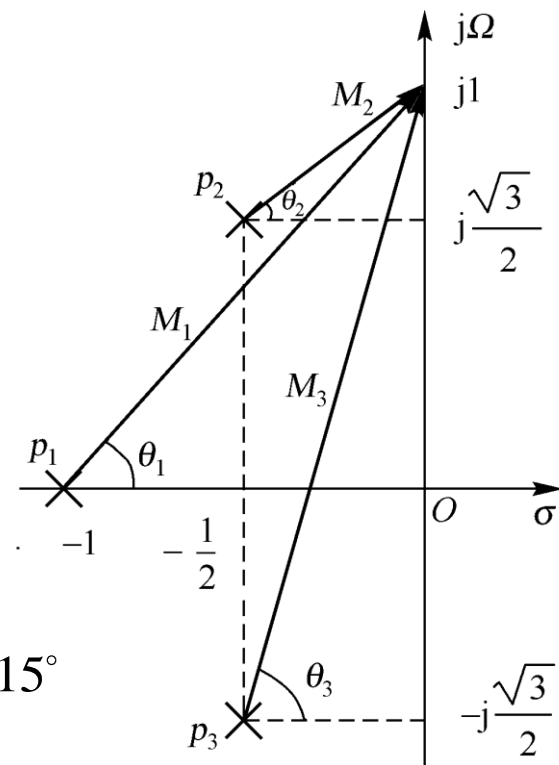
$$H(s) = \frac{1}{s^3 + 2s^2 + 2s + 1} = \frac{1}{(s+1)(s^2 + s + 1)}$$

$$\text{其极点为 } p_1 = -1, \quad p_{2,3} = -\frac{1}{2} \pm j\frac{\sqrt{3}}{2}$$

$$M_1 = \sqrt{2} \quad \theta_1 = 45^\circ$$

$$M_2 = \sqrt{(1/2)^2 + (1 - \sqrt{3}/2)^2} = 0.518 \quad \theta_2 = \arctan \frac{1 - \sqrt{3}/2}{1/2} = 15^\circ$$

$$M_3 = \sqrt{(1/2)^2 + (1 + \sqrt{3}/2)^2} = 1.932 \quad \theta_3 = \arctan \frac{1 + \sqrt{3}/2}{1/2} = 75^\circ$$



$$|H(j1)| = \frac{1}{M_1 M_2 M_3} = \frac{1}{\sqrt{2}}$$

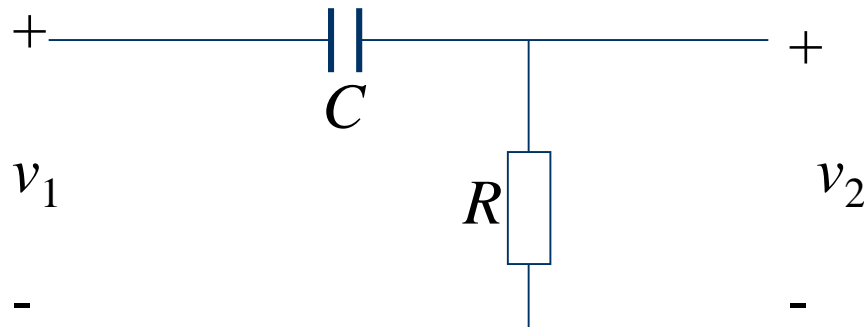
$$\varphi(1) = -(\theta_1 + \theta_2 + \theta_3) = -135^\circ$$

6.7.2 一阶系统的频响特性

例6.7-2： 研究下图所示的RC滤波网络的频响特性

$$H(j\Omega) = \frac{V_2(j\Omega)}{V_1(j\Omega)}$$

解： $H(s) = \frac{R}{R + \frac{1}{sC}} = \frac{s}{s + \frac{1}{RC}}$



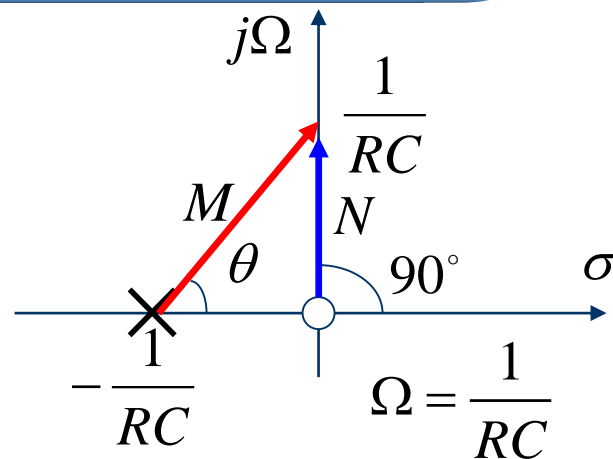
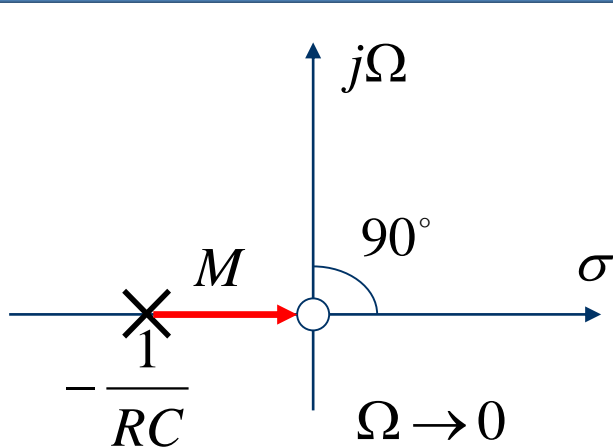
$$H(j\Omega) = \frac{j\Omega}{j\Omega + \frac{1}{RC}}$$

$$H(j\Omega) = \frac{Ne^{j\psi}}{Me^{j\theta}} = \frac{N}{M} e^{j(\psi-\theta)}$$

$$|H(j\Omega)| = \frac{N}{M}$$

$$\varphi(\Omega) = \psi - \theta$$

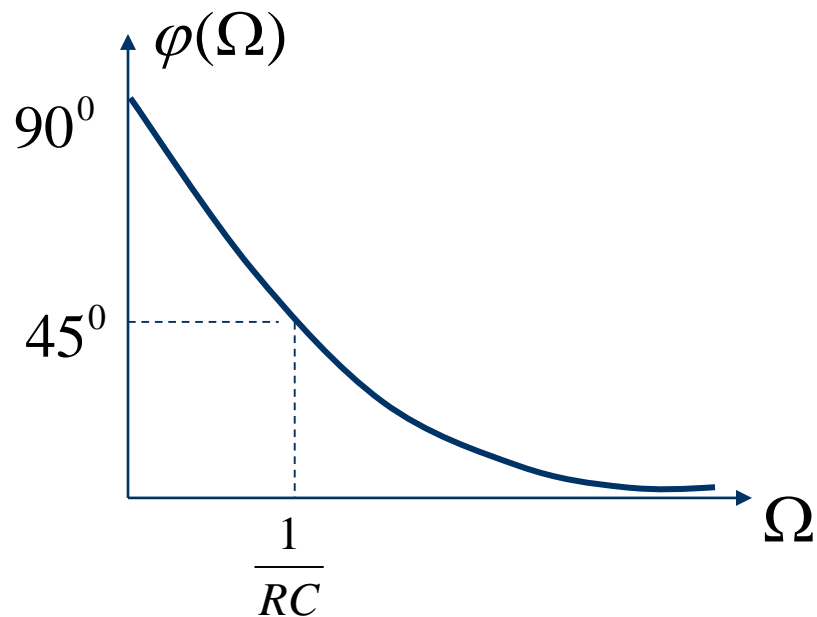
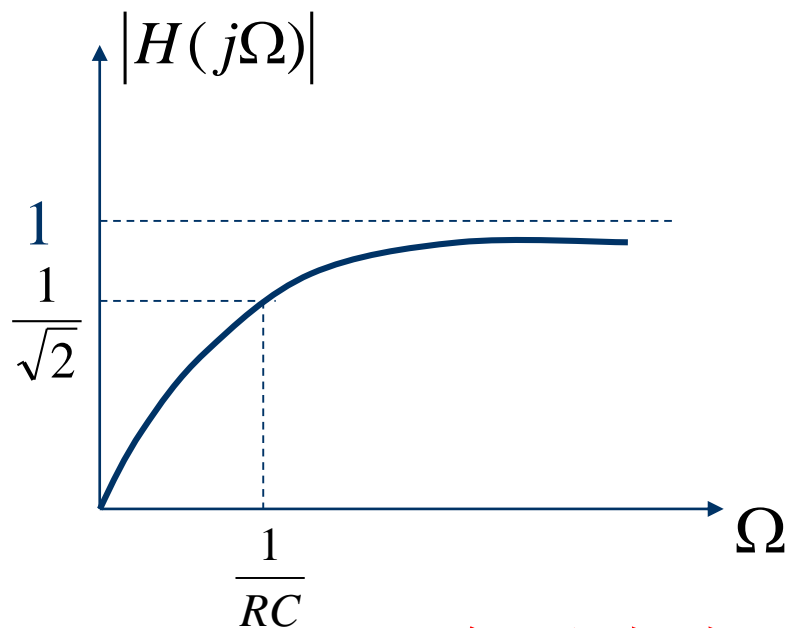
6.7.2 一阶系统的频响特性



	M	θ	N	ψ	$\frac{N}{M}$	$\psi - \theta$
$\Omega \rightarrow 0$	$\frac{1}{RC}$	0°	0	90°	0	90°
$\Omega = \frac{1}{RC}$	$\frac{\sqrt{2}}{RC}$	45°	$\frac{1}{RC}$	90°	$\frac{1}{\sqrt{2}}$	45°
$\Omega \rightarrow \infty$	∞	90°	∞	90°	1	0°

Show

6.7.2 一阶系统的频响特性



(高通滤波网络)

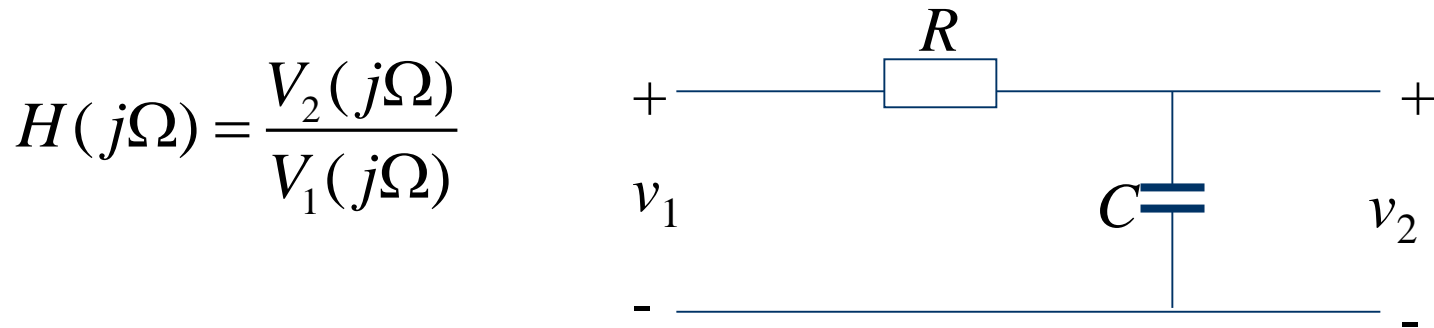
一般将 $|H(j\Omega)|$ 中最大值的 $\frac{1}{\sqrt{2}}$ 倍所对应的频率 Ω_c 称为截止频率。

本例中：

$$\Omega_c = \frac{1}{RC}$$

6.7.2 一阶系统的频响特性

例6.7-3: 研究下图所示RC滤波网络的频响特性

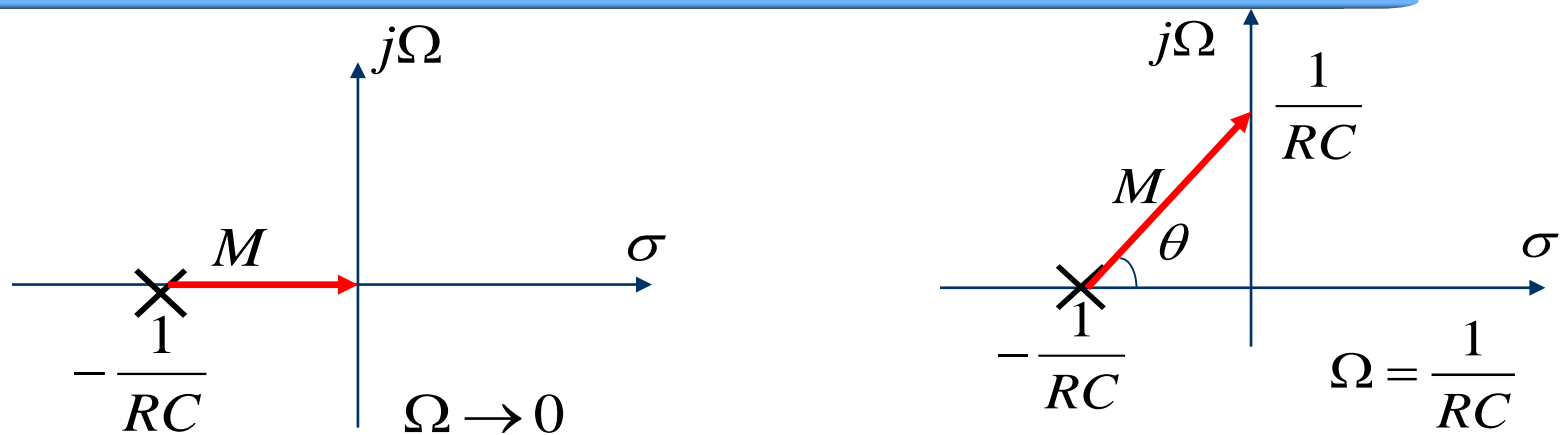


解:

$$H(s) = \frac{V_2(s)}{V_1(s)} = \frac{\frac{1}{sC}}{R + \frac{1}{sC}} = \frac{RC}{s + \frac{1}{RC}}$$

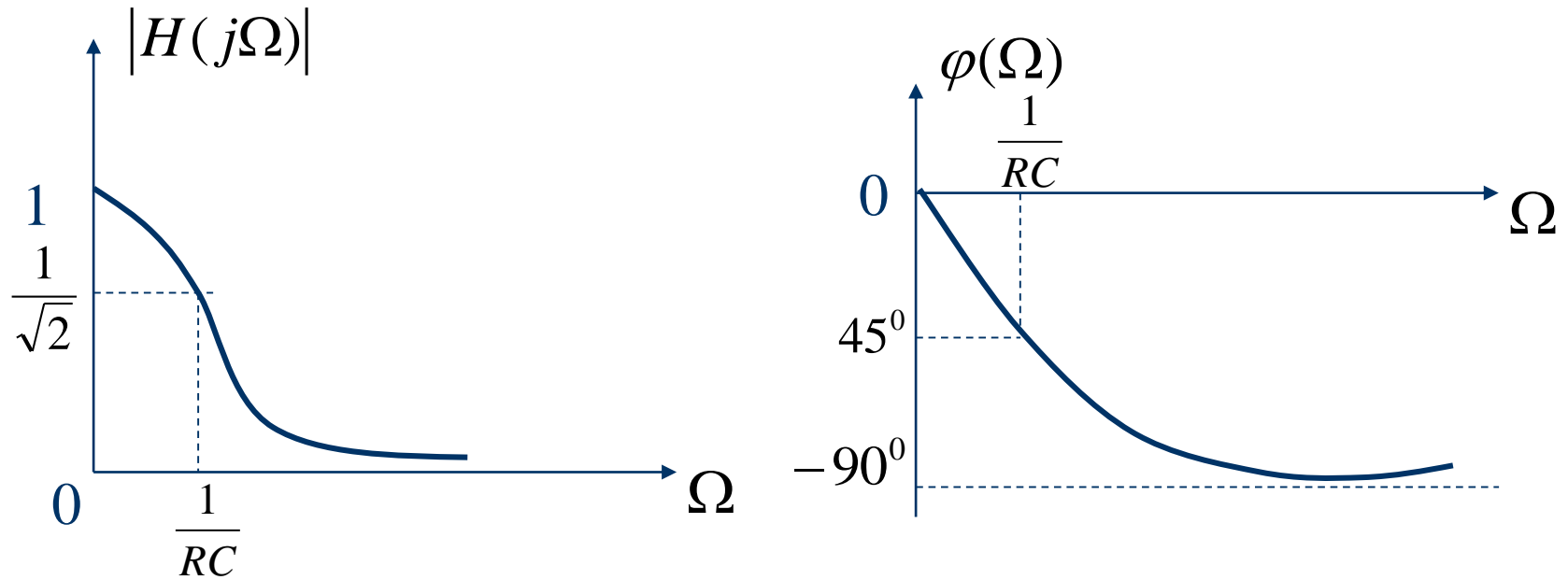
$$H(j\Omega) = \frac{RC}{j\Omega + \frac{1}{RC}} = \frac{\frac{1}{RC}}{Me^{j\theta}} = \frac{1}{RC} e^{-j\theta}$$

6.7.2 一阶系统的频响特性



	M	θ	$\frac{\frac{1}{RC}}{M}$	$-\theta$
$\Omega \rightarrow 0$	$\frac{1}{RC}$	0°	1	0°
$\Omega = \frac{1}{RC}$	$\frac{\sqrt{2}}{RC}$	45°	$\frac{1}{\sqrt{2}}$	-45°
$\Omega \rightarrow \infty$	∞	90°	0	-90°

6.7.2 一阶系统的频响特性

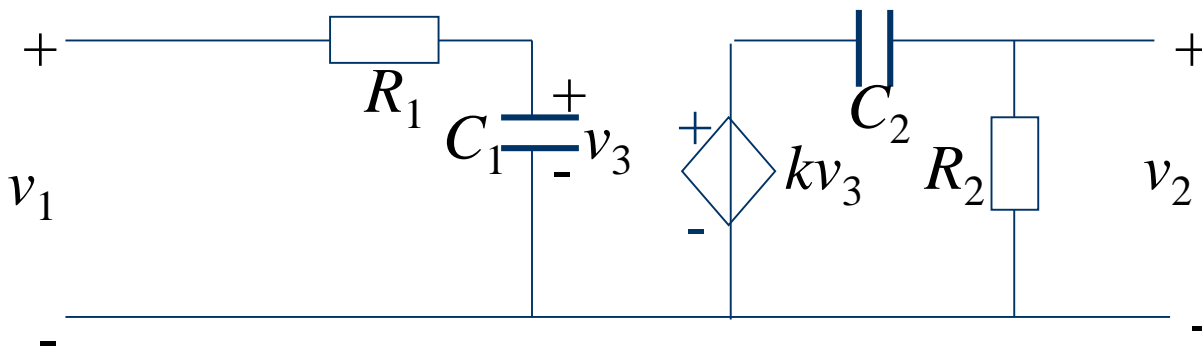


$$\Omega_c = \frac{1}{RC}$$

(低通滤波网络)

6.7.3 二阶系统的频响特性

例6.7-4: 研究下图所示二阶RC系统的频响特性 $H(j\Omega) = \frac{V_2(j\Omega)}{V_1(j\Omega)}$



$R_1C_1 \ll R_2C_2$ (由同一类型储能元件构成)

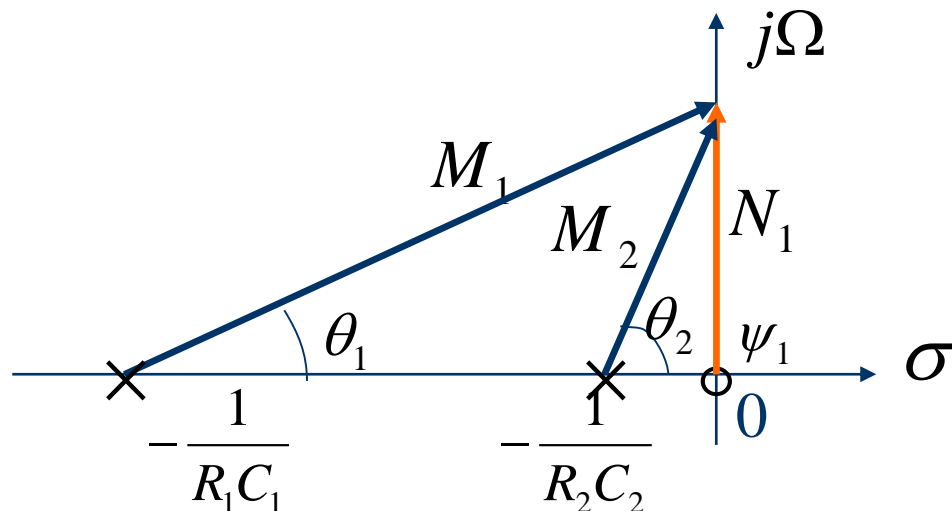
解:

$$H(s) = \frac{V_2(s)}{V_1(s)} = k \frac{\frac{1}{sC_1}}{R_1 + \frac{1}{sC_1}} \cdot \frac{R_2}{R_2 + \frac{1}{sC_2}} = \frac{k}{R_1C_1} \cdot \frac{s}{(s + \frac{1}{R_1C_1})(s + \frac{1}{R_2C_2})}$$

6.7.3 二阶系统的频响特性

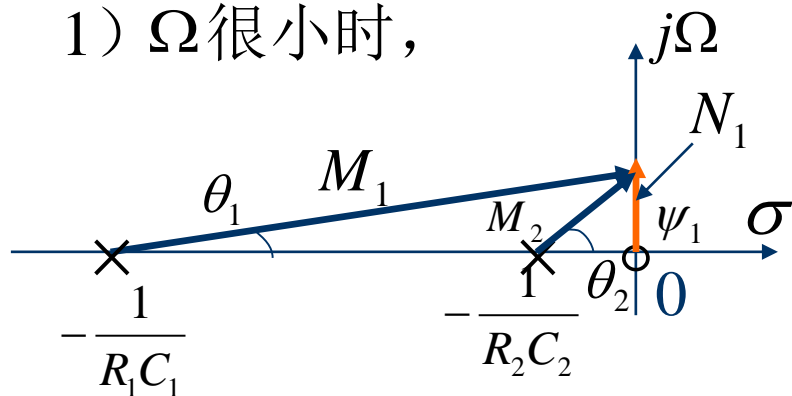
$$H(s) = \frac{k}{R_1 C_1} \cdot \frac{s}{\left(s + \frac{1}{R_1 C_1}\right)\left(s + \frac{1}{R_2 C_2}\right)}$$

$$H(j\Omega) = \frac{k}{R_1 C_1} \cdot \frac{j\Omega}{\left(j\Omega + \frac{1}{R_1 C_1}\right)\left(j\Omega + \frac{1}{R_2 C_2}\right)} = \frac{k}{R_1 C_1} \cdot \frac{N_1}{M_1 M_2} e^{j[\psi_1 - (\theta_1 + \theta_2)]}$$



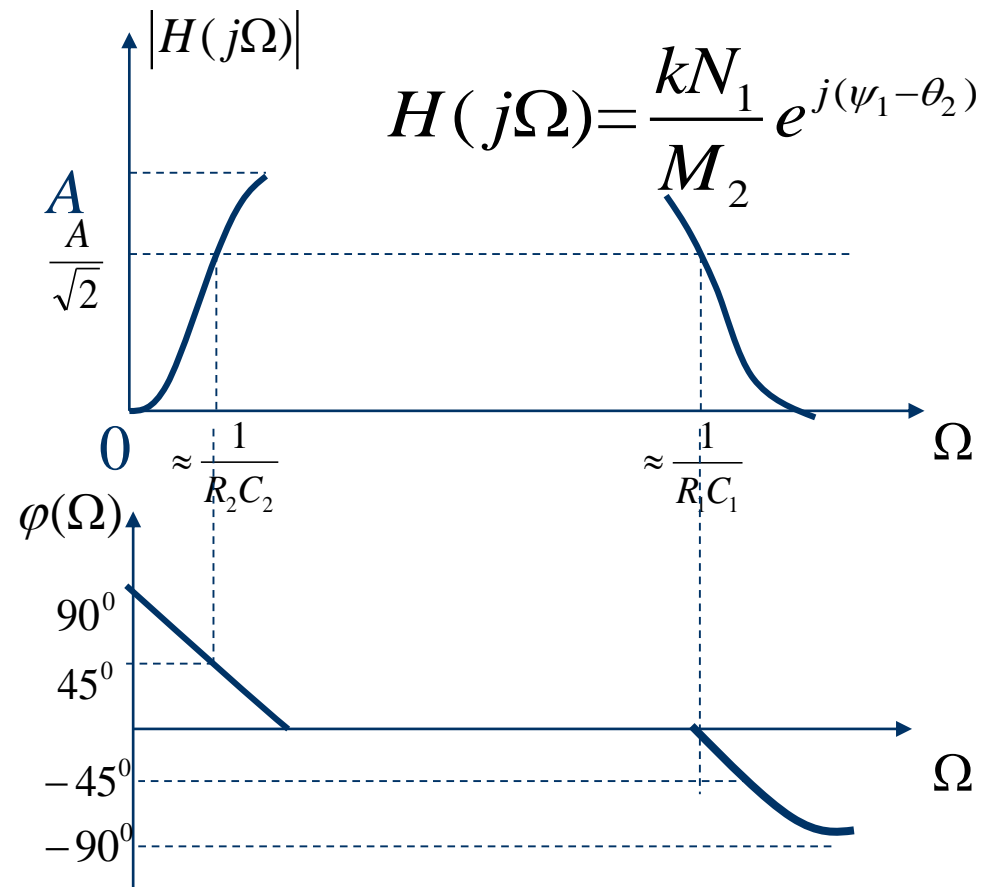
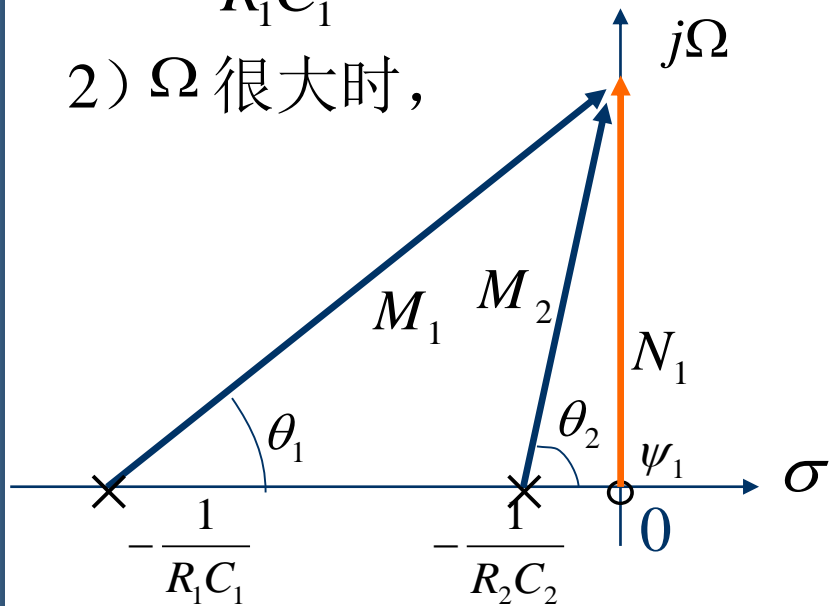
6.7.3 二阶系统的频响特性

1) Ω 很小时,



$$M_1 \approx \frac{1}{R_1 C_1}, \theta_1 \approx 0$$

2) Ω 很大时,



$$M_2 \approx N_1, \theta_2 \approx \psi_1, H(j\Omega) = \frac{k}{M_1} e^{-j\theta_1}$$

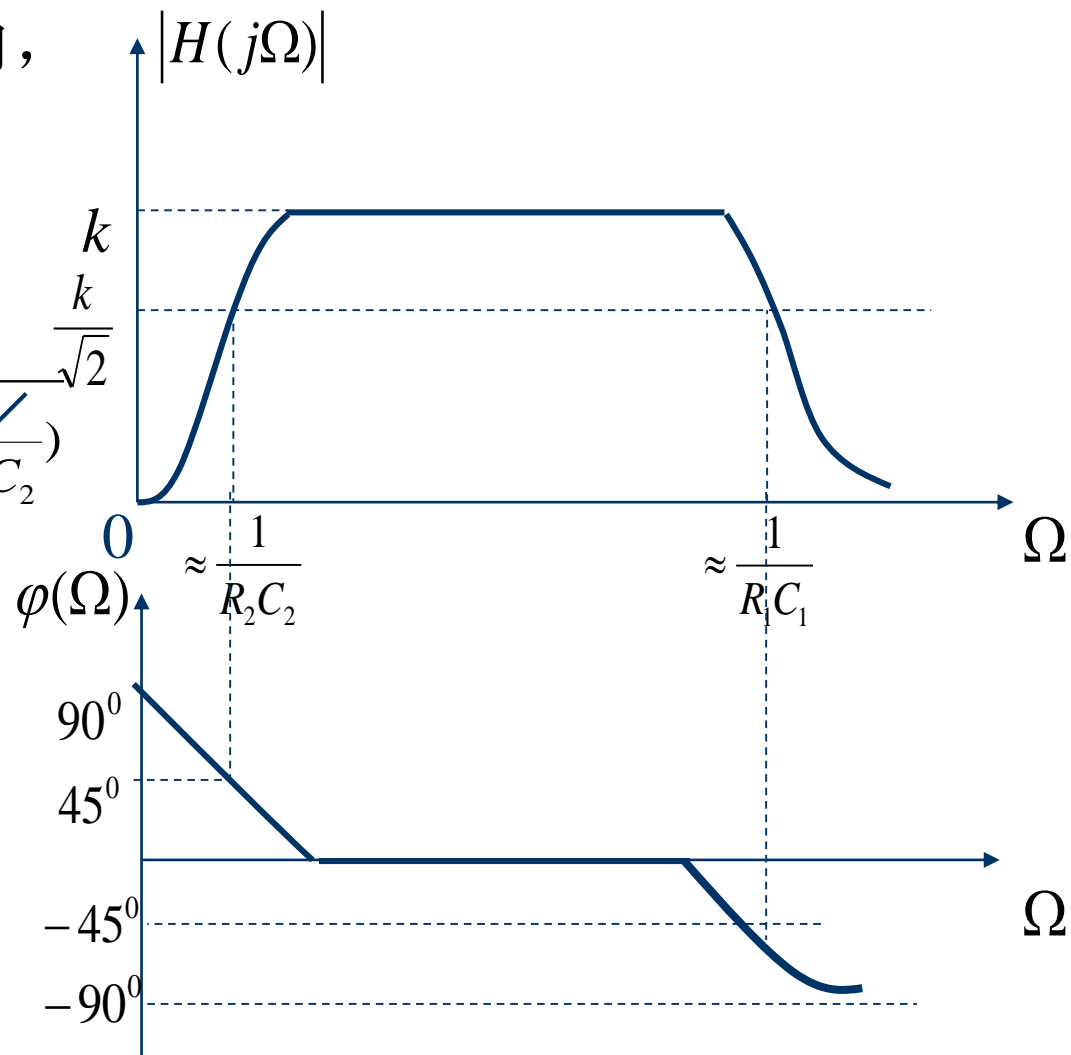
6.7.3 二阶系统的频响特性

3) Ω 位于中间频率范围内,

即: $\frac{1}{R_2 C_2} \ll \Omega \ll \frac{1}{R_1 C_1}$

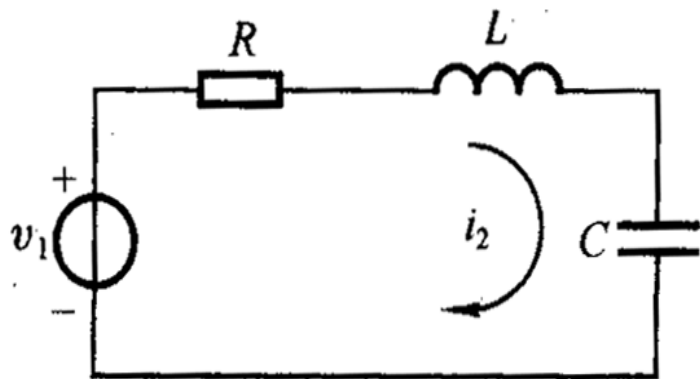
$$H(j\Omega) = \frac{k}{R_1 C_1} \cdot \frac{j\Omega}{(j\Omega + \frac{1}{R_1 C_1})(j\Omega + \frac{1}{R_2 C_2})}$$

$$\approx k$$

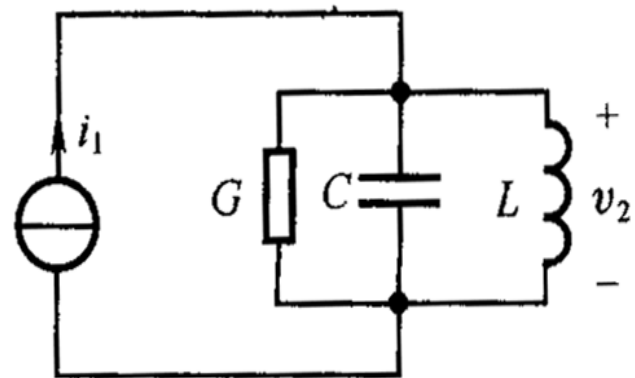


6.7.3 二阶系统的频响特性

例6.7-5 分析下述二阶谐振电路的频响特性。



(a) 电压源 \leftrightarrow 电流源



(b)

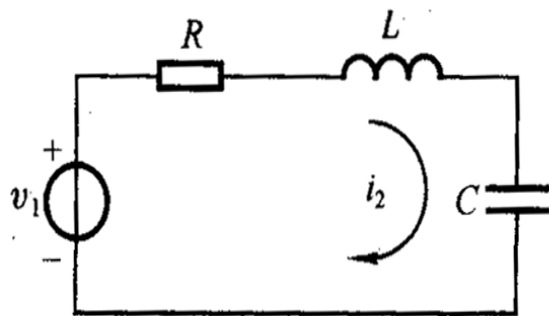
电阻 $R \leftrightarrow$ 电导 G

$L \leftrightarrow C$

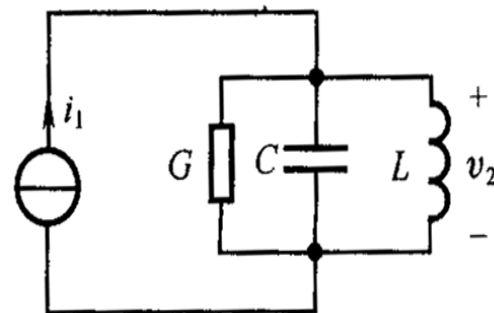
$C \leftrightarrow L$

串联 \leftrightarrow 并联

6.7.3 二阶系统的频响特性



(a)



(b)

图 (b):
$$H(s) = \frac{V_2(s)}{I_1(s)} = Z(s) = \frac{1}{G + sC + \frac{1}{sL}} = \frac{1}{C} \cdot \frac{s}{s^2 + \frac{G}{C}s + \frac{1}{LC}}$$

设
$$\alpha = \frac{G}{2C} \text{ — 衰减因子}$$

$$\Omega_0 = \frac{1}{\sqrt{LC}} \text{ — 谐振频率}$$

6.7.3 二阶系统的频响特性

则

$$H(s) = \frac{1}{C} \cdot \frac{s}{s^2 + \frac{G}{C}s + \frac{1}{LC}} = \frac{1}{C} \cdot \frac{s}{s^2 + 2\alpha s + \Omega_0^2}$$
$$= \frac{1}{C} \cdot \frac{s}{(s - p_1)(s - p_2)}$$

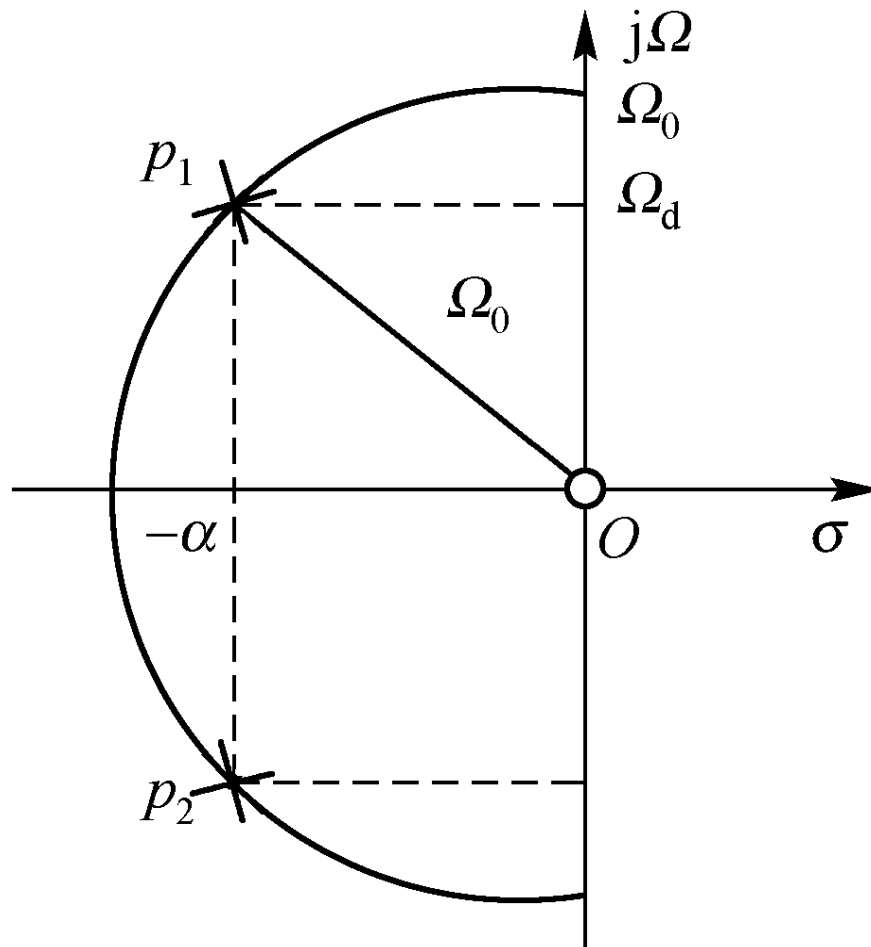
$$p_{1,2} = -\alpha \pm \sqrt{\alpha^2 - \Omega_0^2} \quad \Omega_d = \sqrt{\Omega_0^2 - \alpha^2}$$

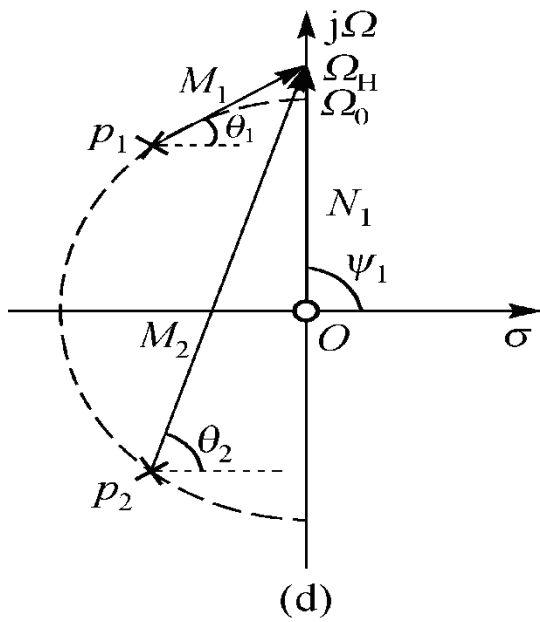
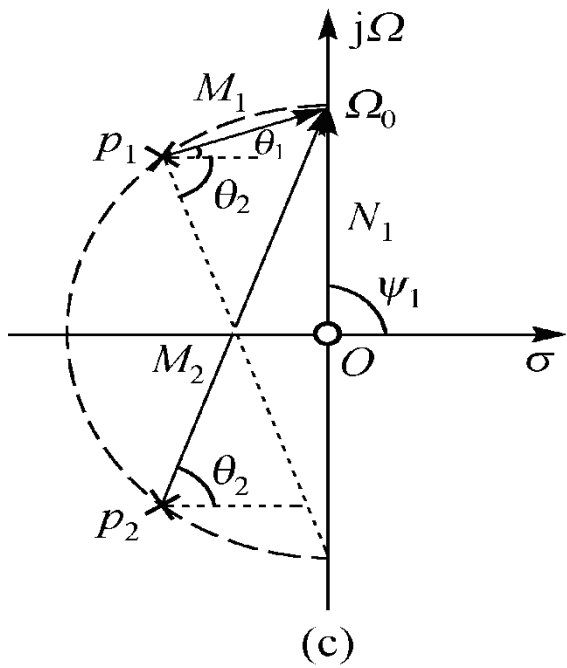
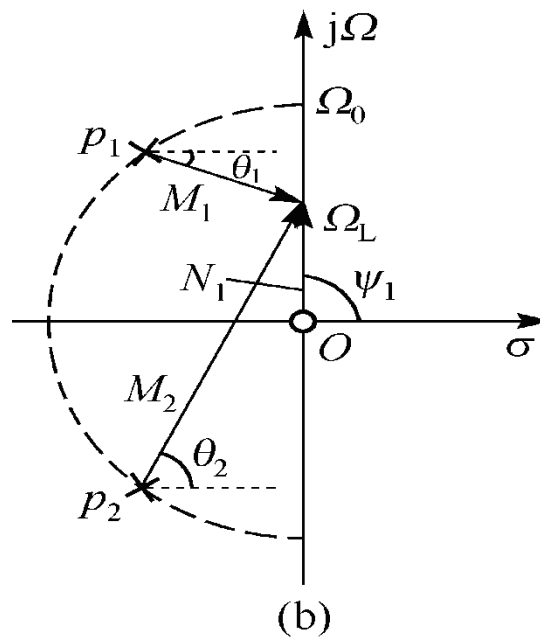
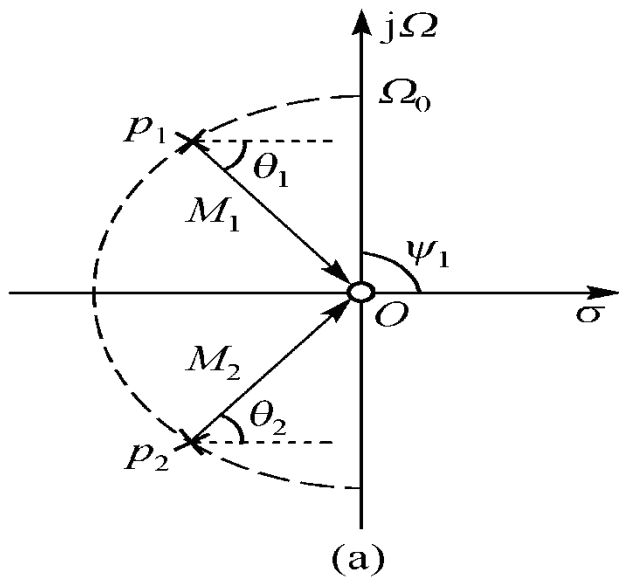
当 $\alpha < \Omega_0$ 时, $p_{1,2} = -\alpha \pm j\Omega_d$

(1) 谐振电路 $H(s)$ 的零极点图

6.7.3 二阶系统的频响特性

$$\alpha < \Omega_0 \quad p_{1,2} = -\alpha \pm j\Omega_d \quad \Omega_0^2 = \Omega_d^2 + \alpha^2$$

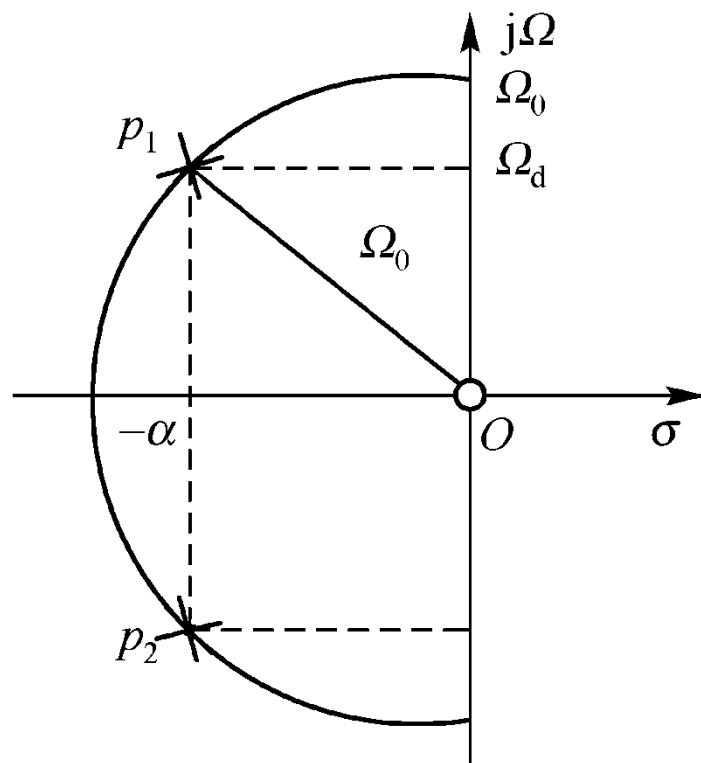









6.7.3 二阶系统的频响特性

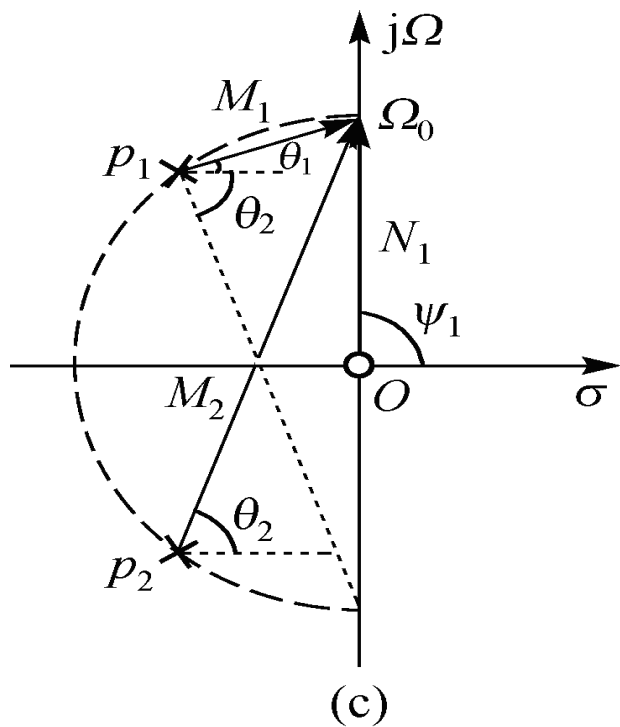
(2) 频响特性

$$\begin{aligned} H(j\Omega) &= Z(j\Omega) \\ &= \frac{1}{G + j\Omega C - j\frac{1}{\Omega L}} \\ &= \frac{1}{C} \cdot \frac{j\Omega}{(j\Omega - p_1)(j\Omega - p_2)} \\ &= \frac{1}{C} \cdot \frac{N_1}{M_1 M_2} \cdot e^{j[\psi_1 - (\theta_1 + \theta_2)]} \\ &= |H(j\Omega)| e^{j\varphi(\Omega)} \end{aligned}$$



6.7.3 二阶系统的频响特性

	M_1	M_2	N_1	$\theta_1 + \theta_2$	ψ_1	$\frac{1}{C} \frac{N_1}{M_1 M_2}$	$\psi_1 - (\theta_1 + \theta_2)$
$\Omega \rightarrow 0$	Ω_0	Ω_0	0	$\theta_1 + \theta_2 = 0$	90°	0	90°
$0 < \Omega < \Omega_0$			> 0	$0 < \theta_1 + \theta_2 < 90^\circ$	90°		$< 90^\circ (> 0)$
$\Omega = \Omega_0$			Ω_0	$\theta_1 + \theta_2 = 90^\circ$	90°	$\frac{1}{G}$	0
$\Omega > \Omega_0$				$\theta_1 + \theta_2 > 90^\circ$	90°		< 0
$\Omega \rightarrow \infty$	∞	∞	∞	$\theta_1 + \theta_2 = 180^\circ$	90°	0	-90°



证法 1 : $\because M_1 M_2 = \alpha \cdot 2\Omega_0$

即: $M_1 M_2 = \frac{G}{2C} \cdot 2N_1$

$$\therefore \frac{1}{C} \cdot \frac{N_1}{M_1 M_2} = \frac{1}{G}$$

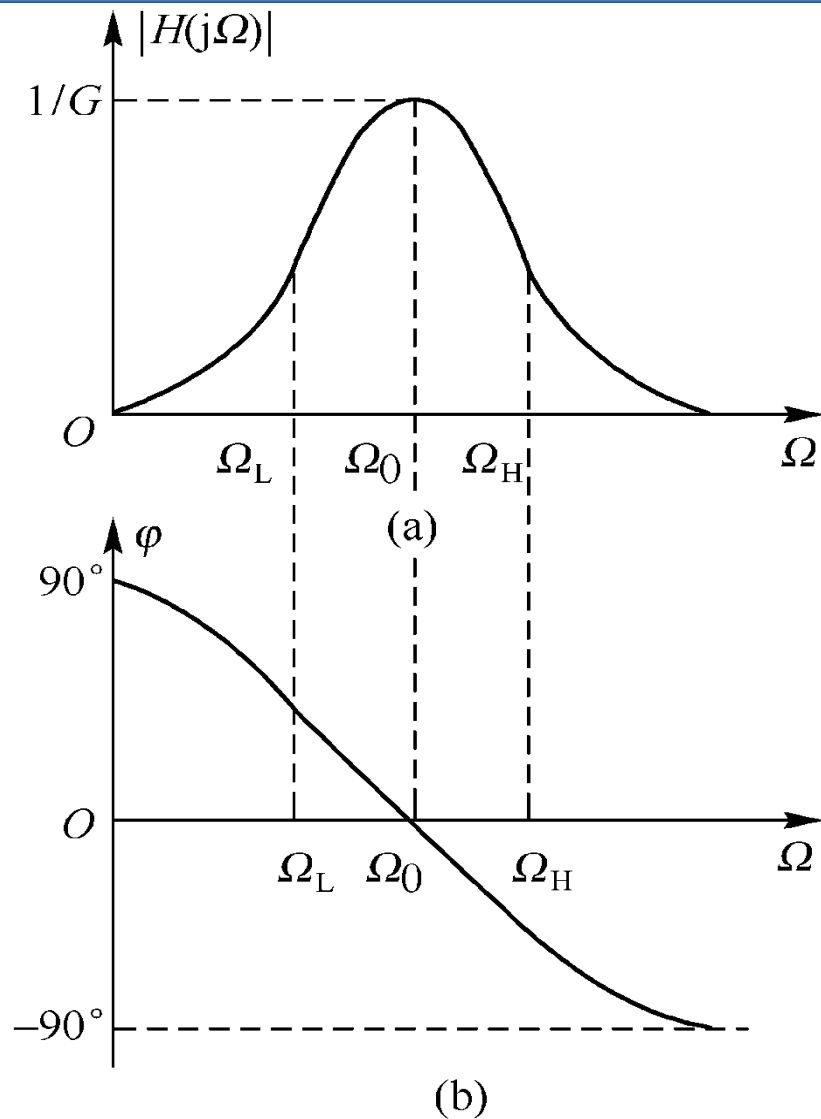
证法 2 : $\because H(j\Omega) = \frac{1}{G + j\Omega C - j\frac{1}{\Omega L}}$

当 $\Omega = \Omega_0$ 时: $\because \Omega_0^2 = \frac{1}{LC} \therefore \Omega_0 C = \frac{1}{\Omega_0 L}$

$$\therefore H(j\Omega_0) = \frac{1}{G + j\Omega_0 C - j\frac{1}{\Omega_0 L}} = \frac{1}{G}$$

证法 3 : 令: $\frac{d|H(j\Omega)|}{d\Omega} = 0$

6.7.3 二阶系统的频响特性



6.7.3 二阶系统的频响特性

谐振电路的主要参数：

一、通频带： $B_{\Omega} = \Omega_2 - \Omega_1$

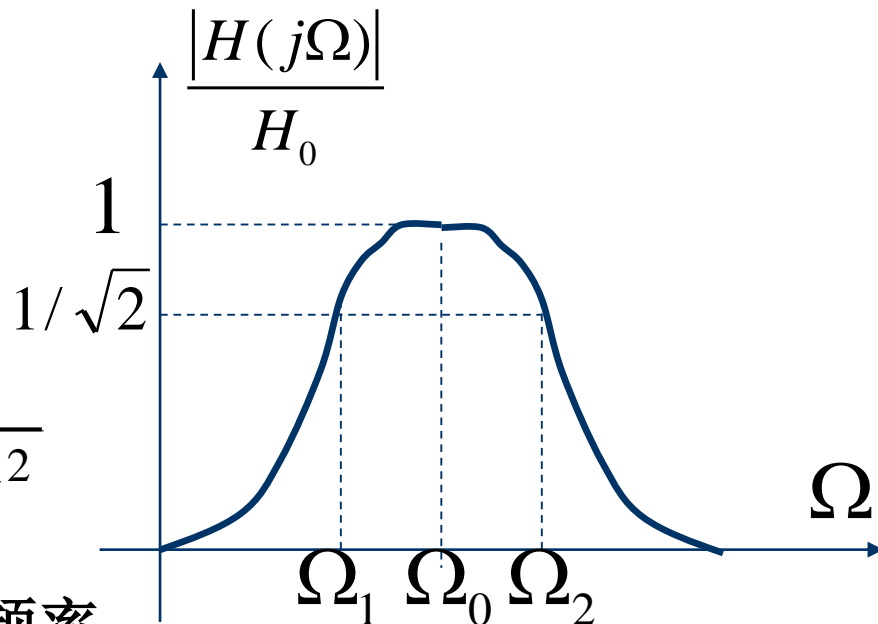
二、谐振频率：

$$\Omega_0 = \frac{1}{\sqrt{LC}}, \quad \Omega_d = \sqrt{\Omega_0^2 - \alpha^2}$$

---- 有阻尼谐振频率

三、品质因数： $Q = \frac{\Omega_0 C}{G}$

$$\because \alpha = \frac{G}{2C} \quad \therefore Q = \frac{\Omega_0}{2\alpha}$$



$$G \downarrow \rightarrow \alpha \downarrow \rightarrow Q \uparrow$$

6.7.3 二阶系统的频响特性

例6.7-6: 画出下列系统的幅频特性和相频特性曲线。

$$H(s) = \frac{1}{C_1} \cdot \frac{s^2 + \Omega_1^2}{s(s^2 + \Omega_2^2)} = \frac{1}{C_1} \cdot \frac{(s + j\Omega_1)(s - j\Omega_1)}{s(s + j\Omega_2)(s - j\Omega_2)} \quad (\Omega_1 < \Omega_2)$$

解:

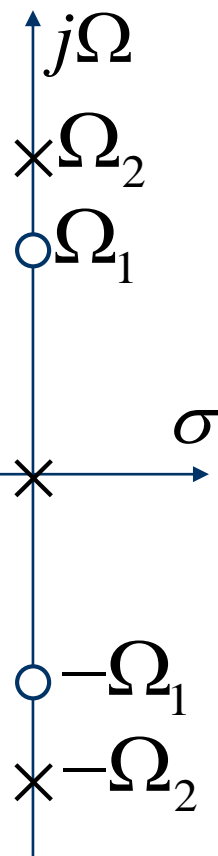
$$H(j\Omega) = \frac{1}{C_1} \cdot \frac{(j\Omega + j\Omega_1)(j\Omega - j\Omega_1)}{j\Omega(j\Omega + j\Omega_2)(j\Omega - j\Omega_2)}$$

$$= \frac{1}{C_1} \cdot \frac{N_1 N_2}{M_1 M_2 M_3} e^{j[(\psi_1 + \psi_2) - (\theta_1 + \theta_2 + \theta_3)]}$$

$$\Omega \rightarrow 0, |H(j\Omega)| \rightarrow \infty, \quad 0 < \Omega < \Omega_1, \varphi(\Omega) = -90^\circ$$

$$\Omega = \Omega_1, |H(j\Omega)| = 0, \quad \Omega_1 < \Omega < \Omega_2, \varphi(\Omega) = 90^\circ$$

$$\Omega = \Omega_2, |H(j\Omega)| \rightarrow \infty, \quad \Omega > \Omega_2, \varphi(\Omega) = -90^\circ$$

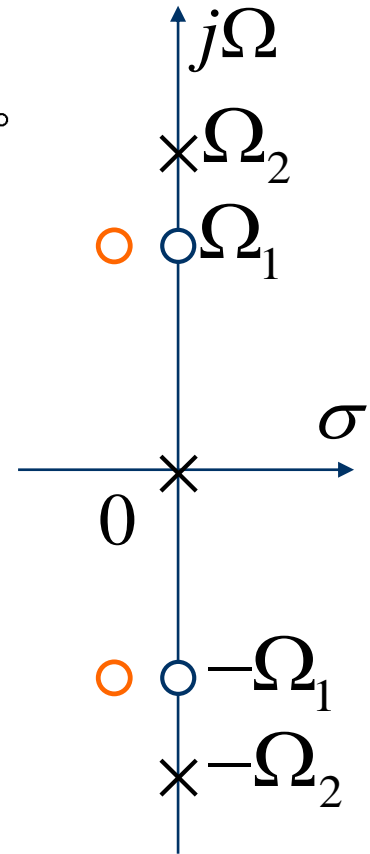
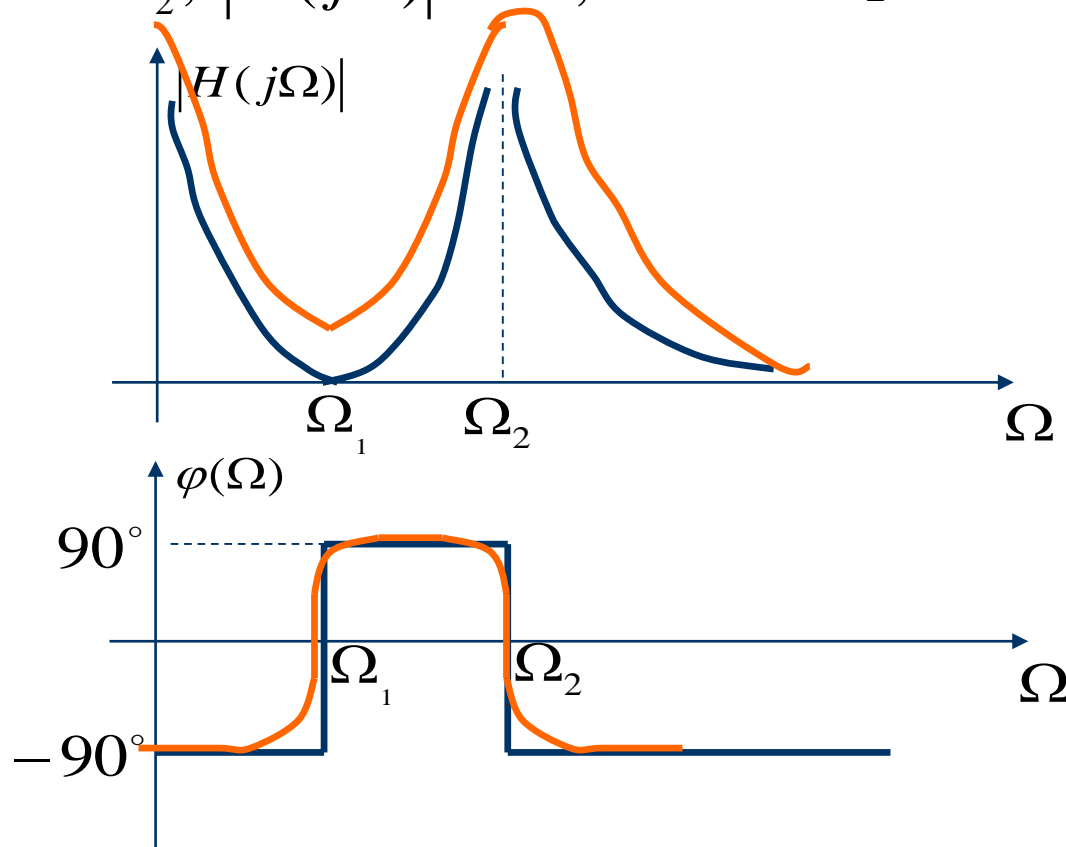


6.7.3 二阶系统的频响特性

$$\Omega \rightarrow 0, |H(j\Omega)| \rightarrow \infty, \quad 0 < \Omega < \Omega_1, \varphi(\Omega) = -90^\circ$$

$$\Omega = \Omega_1, |H(j\Omega)| = 0, \quad \Omega_1 < \Omega < \Omega_2, \varphi(\Omega) = 90^\circ$$

$$\Omega = \Omega_2, |H(j\Omega)| \rightarrow \infty, \quad \Omega > \Omega_2, \varphi(\Omega) = -90^\circ$$



6.7.3 二阶系统的频响特性

一般结论:

极点靠近 $j\Omega$ 轴 \longrightarrow 幅频特性出现峰点, 相频特性迅速减小。

极点在 $j\Omega$ 轴上 \longrightarrow 幅频特性趋于 ∞ , 相频特性出现 -180° 跳变。

零点靠近 $j\Omega$ 轴 \longrightarrow 幅频特性出现谷点, 相频特性迅速上升。

零点在 $j\Omega$ 轴上 \longrightarrow 幅频特性趋于0, 相频特性出现 180° 跳变。

零、极点离 $j\Omega$ 轴远 \longrightarrow 零、极点影响很小。

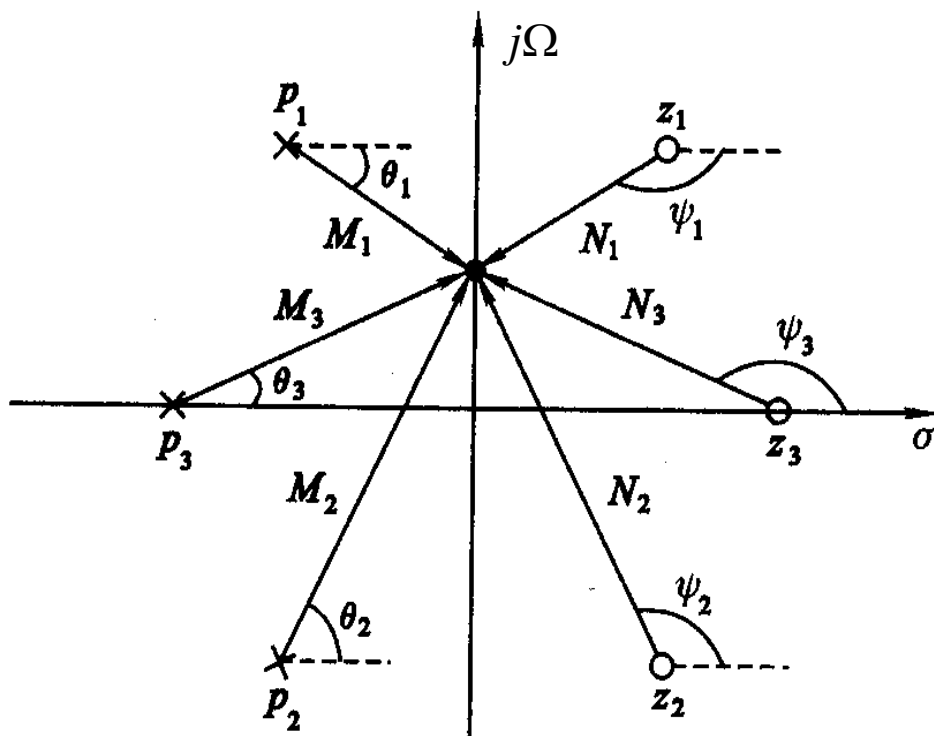
6.8 全通系统和最小相位系统

1 全通系统

$H(s)$ 的极点位于左半 s 平面

$H(s)$ 的零点位于右半 s 平面

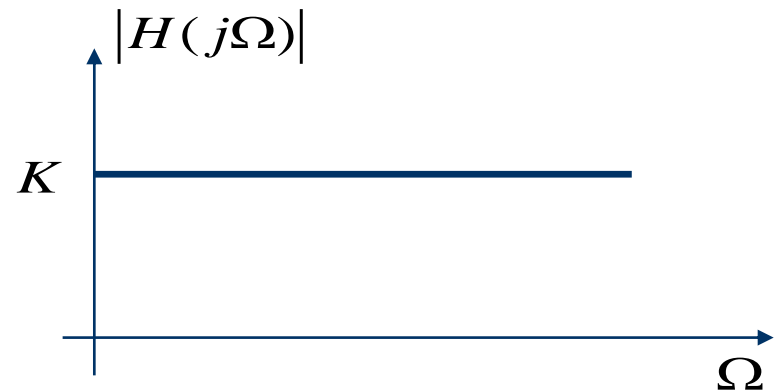
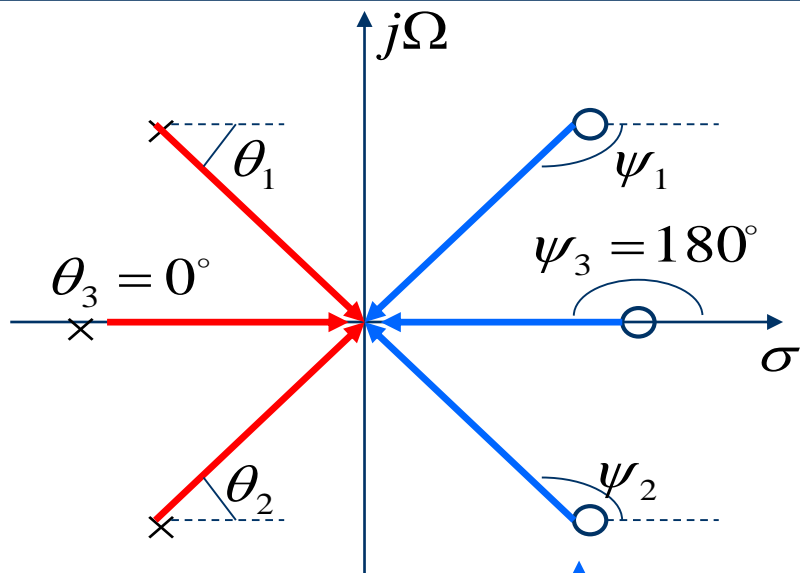
零、极点对于 $j\Omega$ 轴互为镜像。



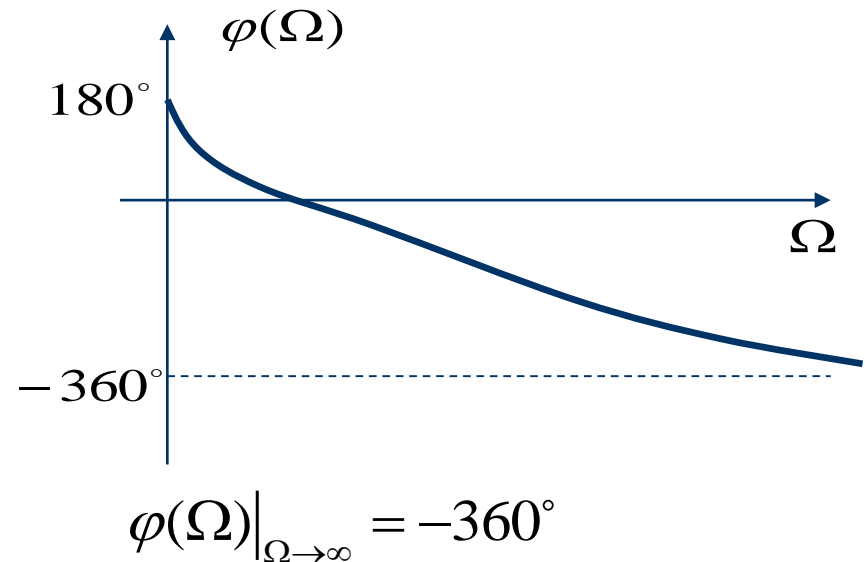
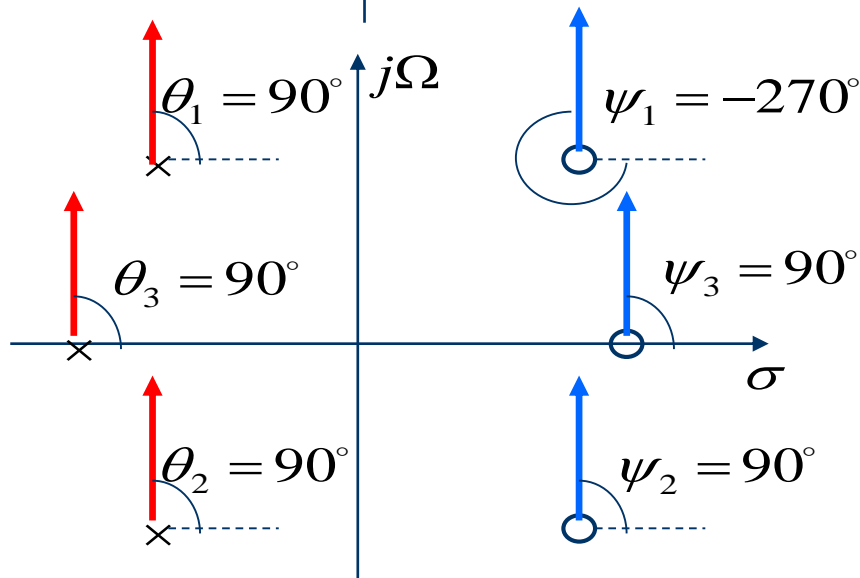
$$H(j\Omega) = K \frac{N_1 N_2 N_3}{M_1 M_2 M_3} e^{j[(\psi_1 + \psi_2 + \psi_3) - (\theta_1 + \theta_2 + \theta_3)]}$$

$$|H(j\Omega)| = K$$

6.8 全通系统和最小相位系统



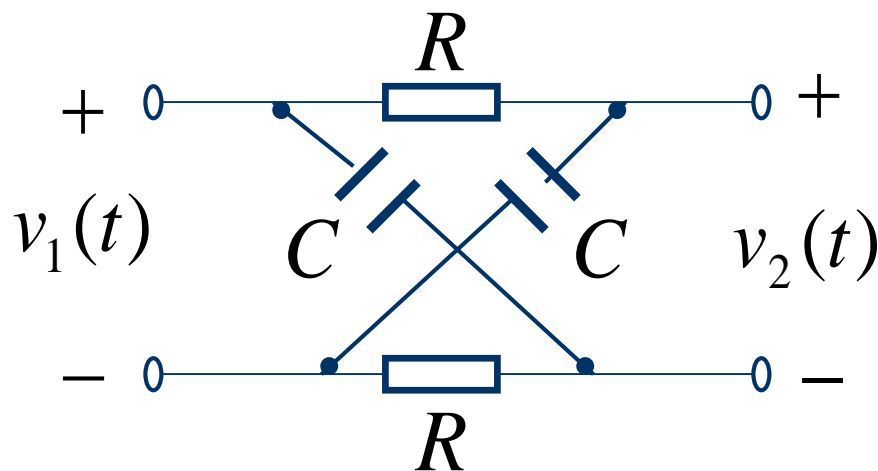
$$\psi_1 = -\psi_2, \theta_1 = -\theta_2, \varphi(\Omega)|_{\Omega=0} = 180^\circ$$



6.8 全通系统和最小相位系统

用途：用来对系统进行相位校正

例：下图所示的网络，写出网络传输函数 $H(s)=V_2(s)/V_1(s)$ ，判别它是否为全通网络。

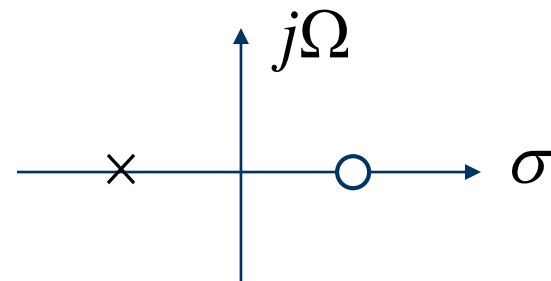


$$H(s) = \frac{V_2(s)}{V_1(s)} = \frac{\frac{1}{sC}}{R + \frac{1}{sC}} - \frac{R}{R + \frac{1}{sC}}$$

$$= -\frac{s - 1/RC}{s + 1/RC}$$

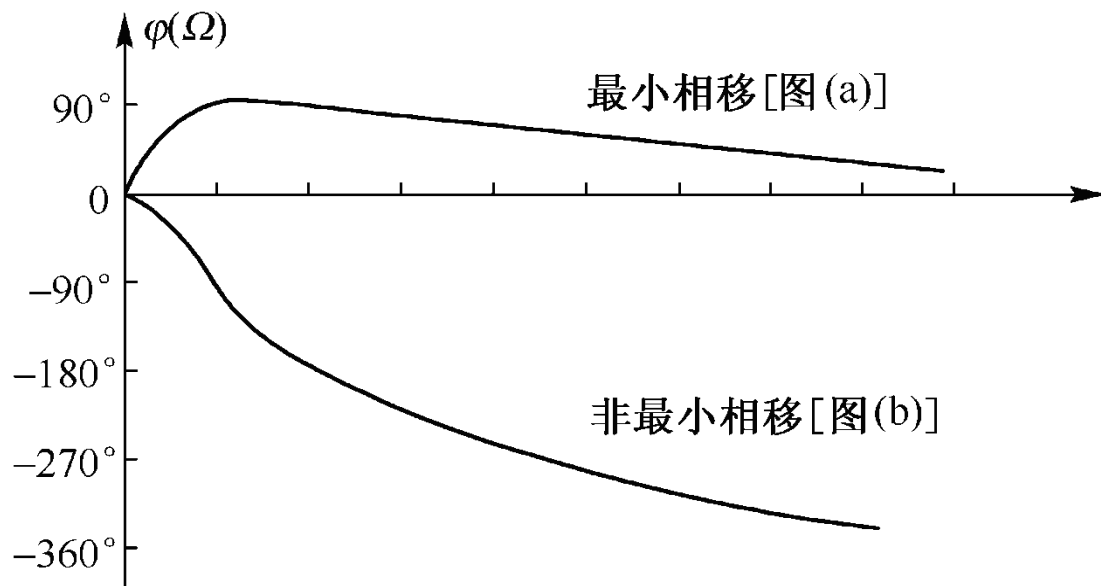
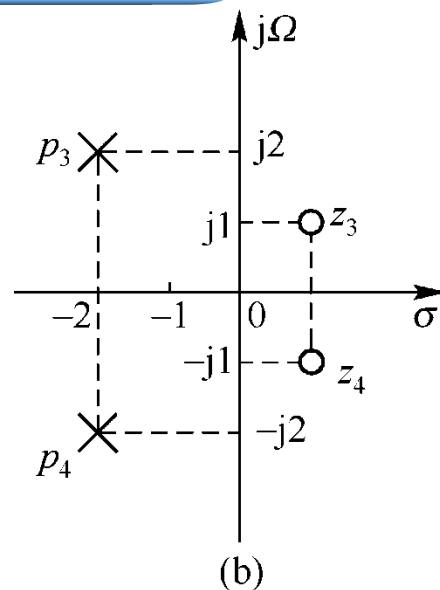
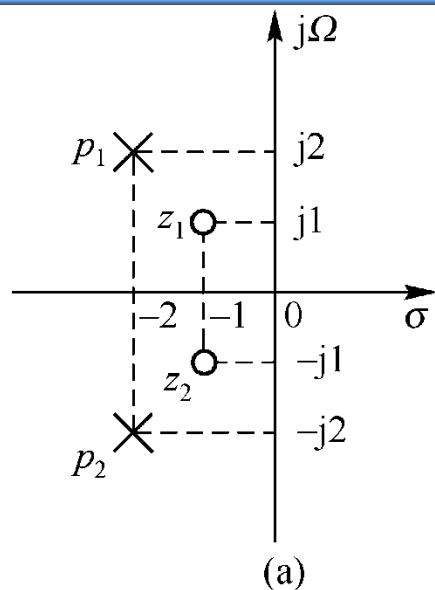
$$H(j\Omega) = -\frac{j\Omega - \frac{1}{RC}}{j\Omega + \frac{1}{RC}}$$

$$|H(j\Omega)| = 1$$



6.8 全通系统和最小相位系统

2 最小相位函数

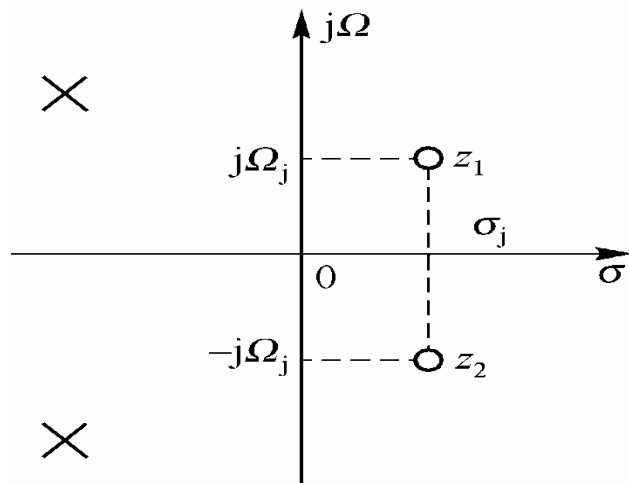


6.8 全通系统和最小相位系统

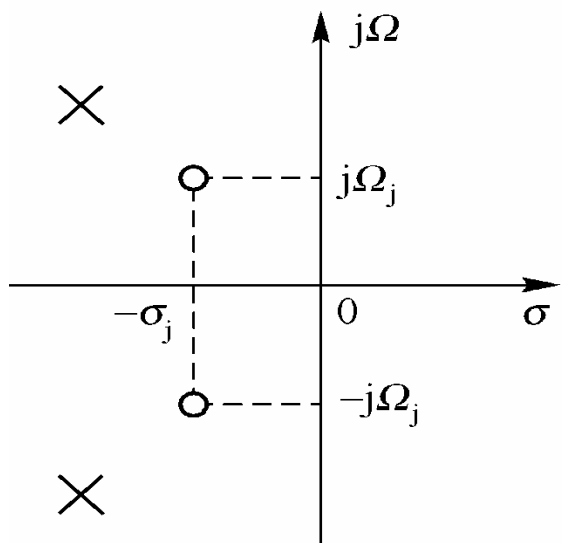
零点仅位于左半 s 平面或 $j\Omega$ 轴上的系统函数称为**最小相位函数**。对应的系统称为**最小相位系统**（minimum-phase system）。反之，如果系统函数有一个或多个零点在右半 s 平面，则称该系统为非最小相位系统。

可以证明：非最小相位函数可以表示为最小相位函数与全通函数的乘积。

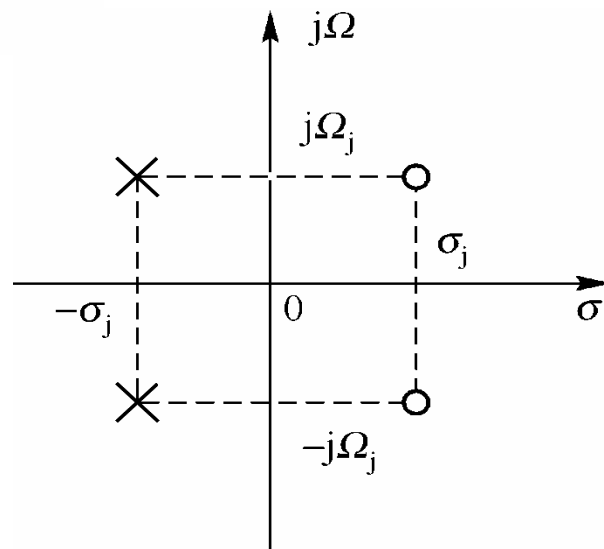
6.8 全通系统和最小相位系统



(a)



(b)

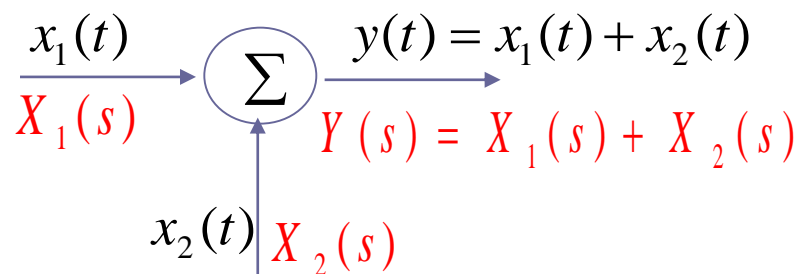


(c)

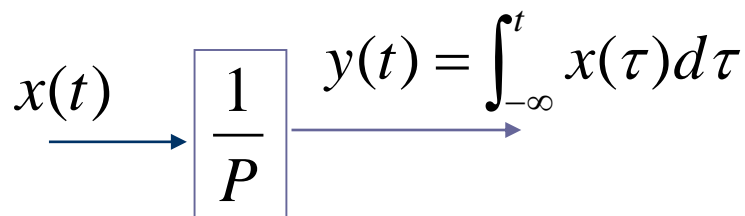
6.9 系统模拟及信号流图

6.9.1 系统的框图

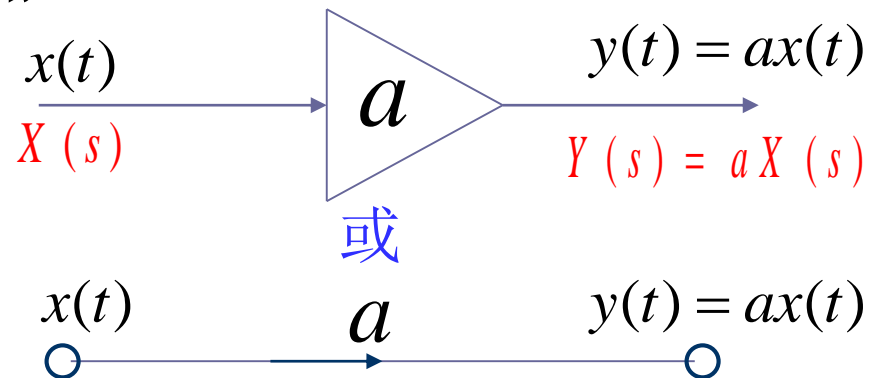
三种基本单元的方框图及运算功能



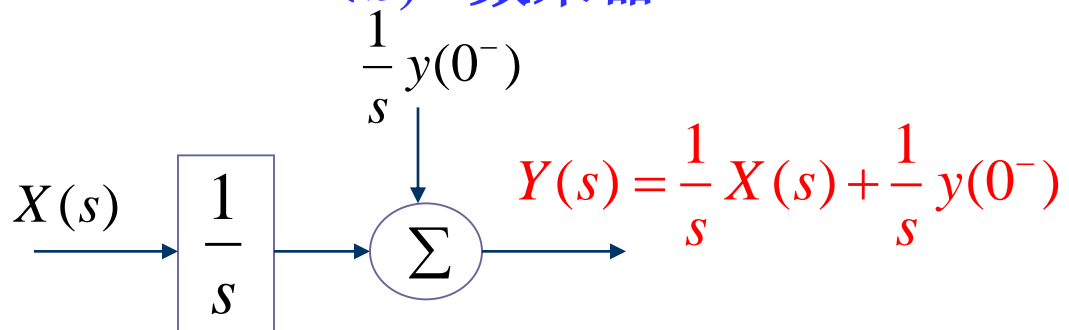
(a) 加法器



(c) 积分器（时域表示）



(b) 数乘器

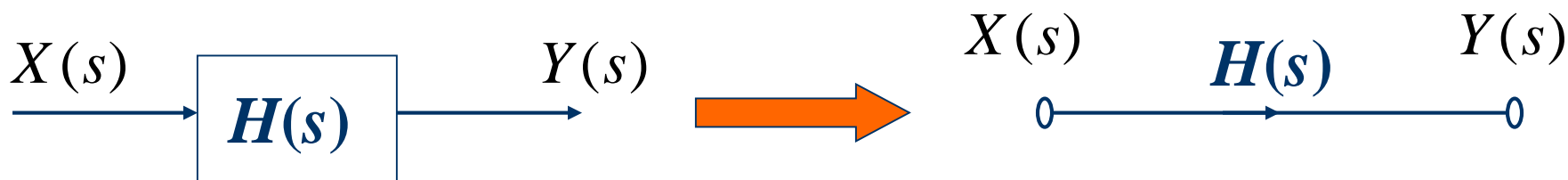


积分器（s域表示）

6.9.2 信号流图

(1) 信号流图的获得

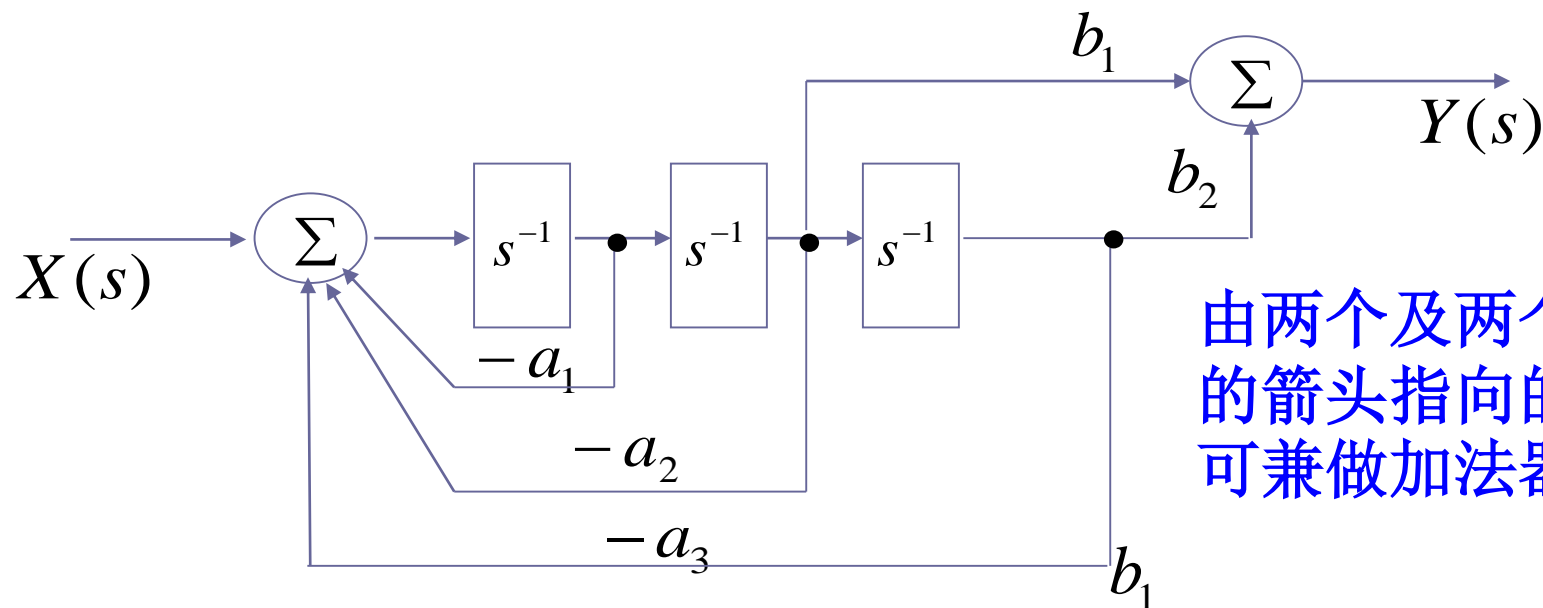
系统的信号流图，就是用一些点和线段来表示系统。



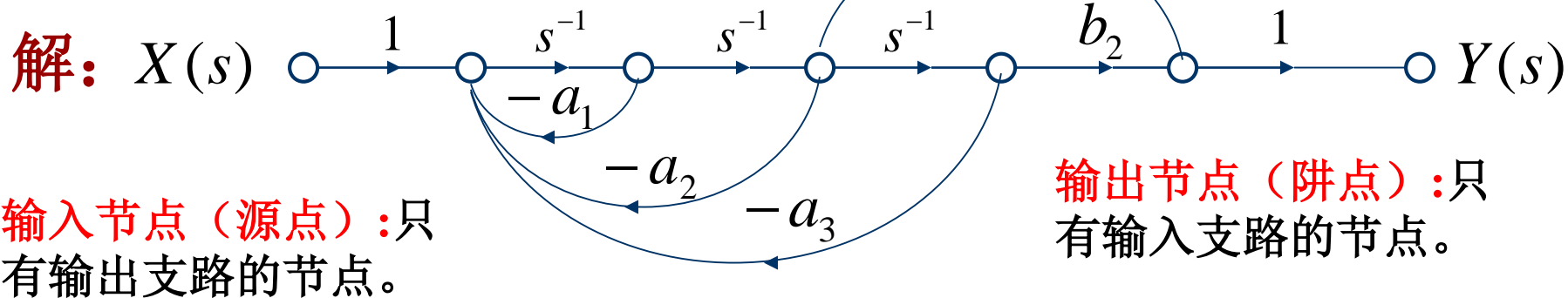
$$Y(s) = H(s)X(s)$$

6.9.2 信号流图

例：将下图所示系统的方框图转化成信号流图。



由两个及两个以上的箭头指向的节点可兼做加法器。




6.9.2 信号流图

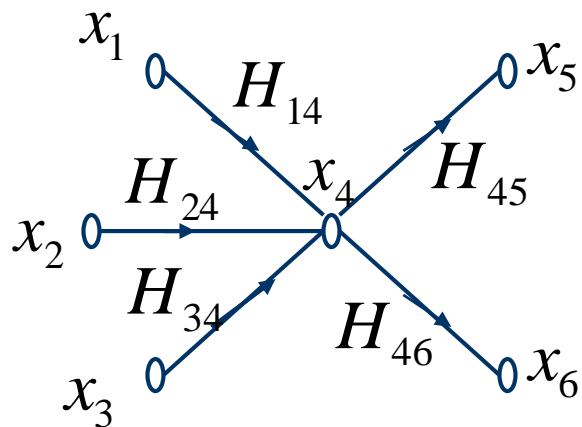
(2) 信号流图的性质

1. 信号只能沿支路箭头方向传输，支路的输出是该支路输入与支路增益的乘积。

如：


$$Y(s) = H(s)X(s)$$

2. 当节点有几个输入时，节点将所有输入支路的信号相加，并将其和传送给与该节点相连的输出节点。



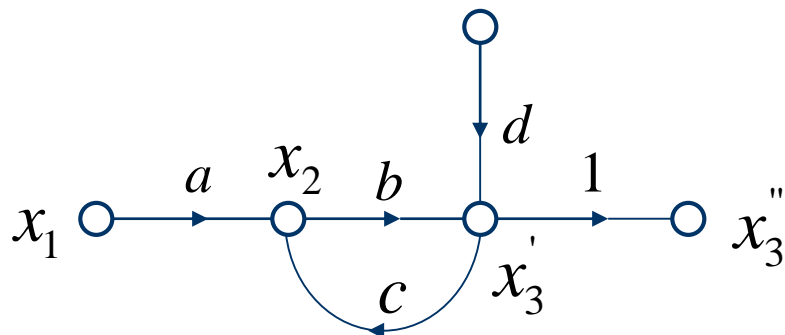
$$x_4 = H_{14}x_1 + H_{24}x_2 + H_{34}x_3$$

$$x_5 = H_{45}x_4$$

$$x_6 = H_{46}x_4$$

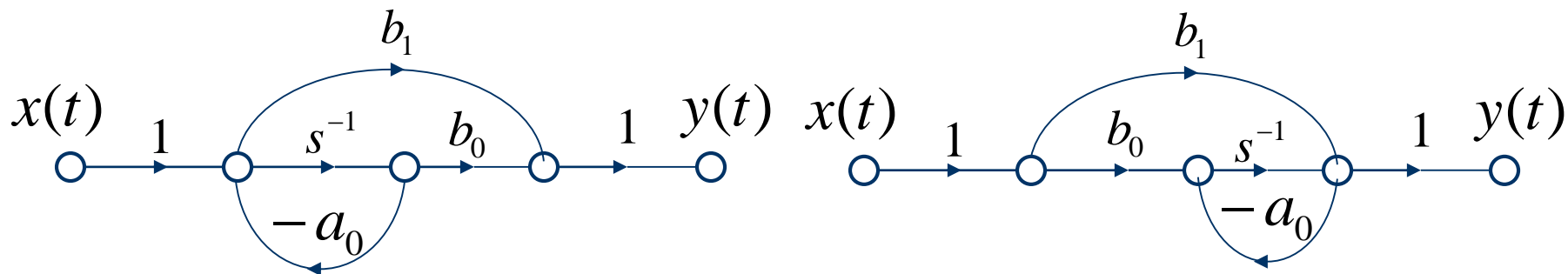
6.9.2 信号流图

3. 具有输入和输出支路的混合节点，通过增加一个具有单位传输增益的支路，可以将它变成输出节点。



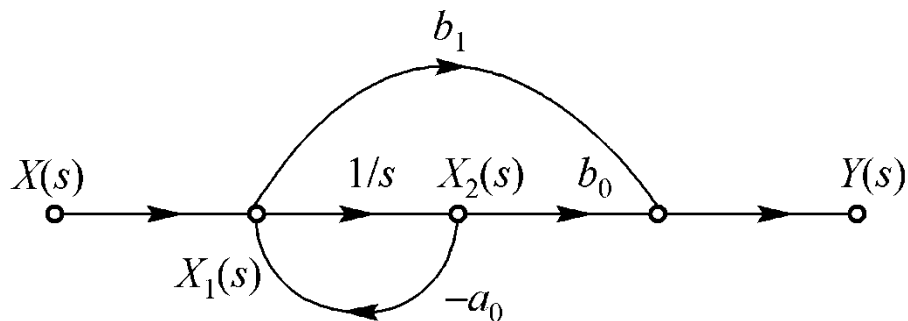
4. 给定系统，信号流图并不唯一。

$$\frac{dy(t)}{dt} + a_0 y(t) = b_1 \frac{dx(t)}{dt} + b_0 x(t)$$

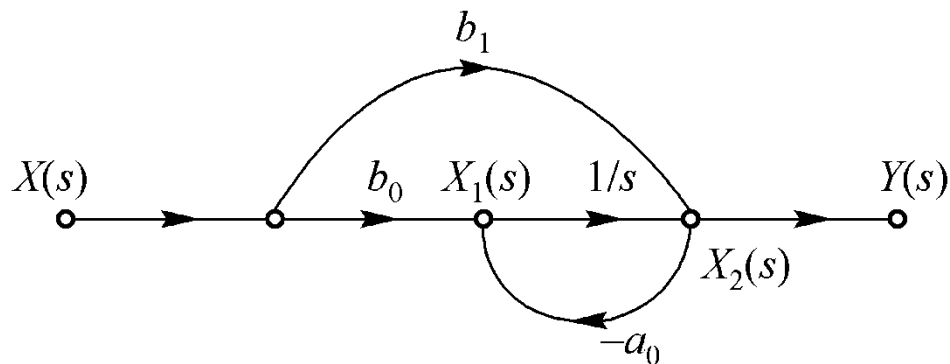


6.9.2 信号流图

5. 流图转置以后，其转移函数保持不变。



(a)



(b)

转移函数都是

$$H(s) = \frac{b_1 s + b_0}{s + a_0}$$

6.9.2 信号流图

(3) 信号流图的梅森公式

梅森公式:

$$H = \frac{1}{\Delta} \sum_K G_K \Delta_K \quad (6.9-1)$$

$\Delta = 1 - \sum_a L_a + \sum_{b,c} L_b L_c - \sum_{d,e,f} L_d L_e L_f + \dots$ ----- 信号流图的特征行列式

$\sum_a L_a$ ----- 所有不同环路的增益之和;

$\sum_{b,c}^a L_b L_c$ ----- 所有两两互不接触环路的增益乘积之和;

$\sum_{d,e,f} L_d L_e L_f$ ----- 所有三个都互不接触环路的增益乘积之和

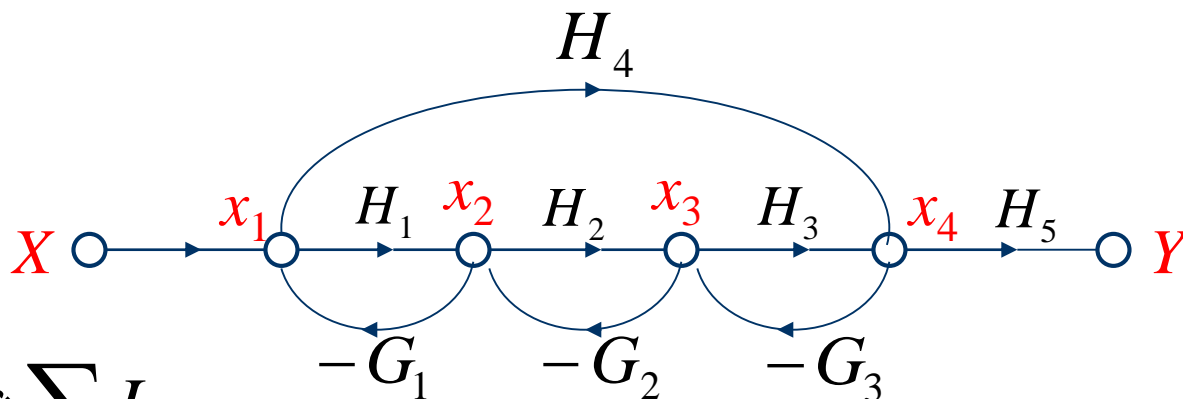
K ---- 由源点到阱点之间的第 K 条前向通路的标号;

G_K ----- 由源点到阱点之间的第 K 条前向通路的增益;

Δ_K ----- 第 K 条前向通路特征行列式的余因子, 表示将第 K 条前向通路去掉以后, 所剩流图的特征行列式。

6.9.2 信号流图

例6.9-1： 求下图所示流图的系统函数。



解： 求 $\sum_a L_a$

$$x_1 \rightarrow x_2 \rightarrow x_1 \text{ 环路: } L_1 = -G_1 H_1$$

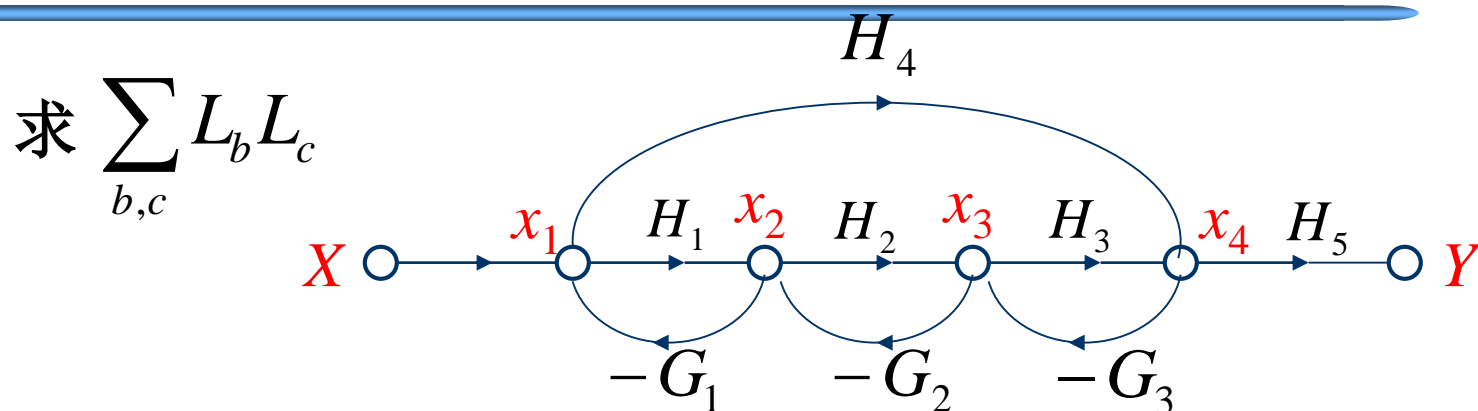
$$x_2 \rightarrow x_3 \rightarrow x_2 \text{ 环路: } L_2 = -G_2 H_2$$

$$x_3 \rightarrow x_4 \rightarrow x_3 \text{ 环路: } L_3 = -G_3 H_3$$

$$x_1 \rightarrow x_4 \rightarrow x_3 \rightarrow x_2 \rightarrow x_1 \text{ 环路: } L_4 = -G_1 G_2 G_3 H_4$$

$$\sum_a L_a = -(G_1 H_1 + G_2 H_2 + G_3 H_3 + G_1 G_2 G_3 H_4)$$

6.9.2 信号流图



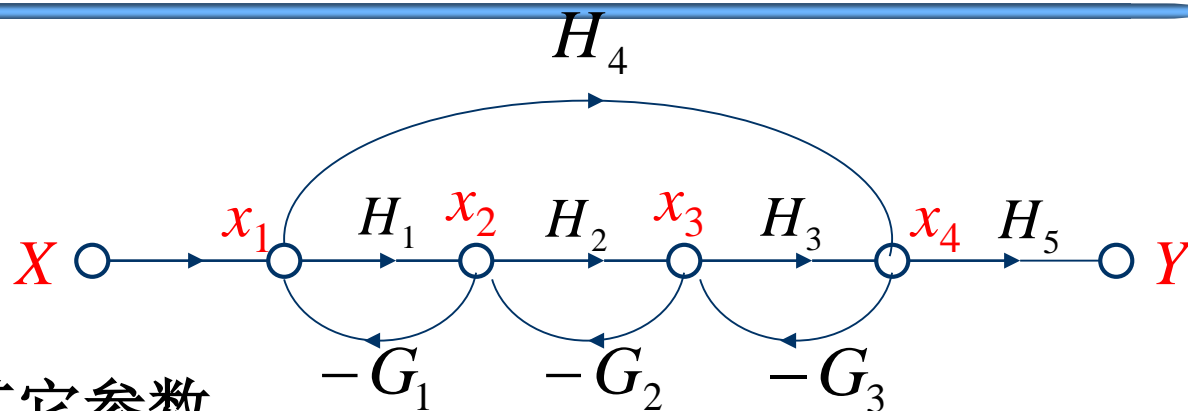
只有一对两两互不接触的环路： $x_1 \rightarrow x_2 \rightarrow x_1$ 与 $x_3 \rightarrow x_4 \rightarrow x_3$

$$L_1 L_3 = G_1 G_3 H_1 H_3, \text{ 即 } \sum_{b,c} L_b L_c = G_1 G_3 H_1 H_3$$

没有三个及三个以上都不接触的环路，所以，

$$\begin{aligned} \Delta &= 1 - \sum_a L_a + \sum_{b,c} L_b L_c \\ &= 1 + (G_1 H_1 + G_2 H_2 + G_3 H_3 + G_1 G_2 G_3 H_4) + G_1 G_3 H_1 H_3 \end{aligned}$$

6.9.2 信号流图



再求其它参数。

第一条前向通路: $X \rightarrow x_1 \rightarrow x_2 \rightarrow x_3 \rightarrow x_4 \rightarrow Y$

$G_1 = H_1 H_2 H_3 H_5$, 由于各环路都与该前向通路都接触, 所以 $\Delta_1 = 1$

第二条前向通路: $X \rightarrow x_1 \rightarrow x_4 \rightarrow Y$

$G_2 = H_4 H_5$, 由于环路 $x_2 \rightarrow x_3 \rightarrow x_2$ 与该前向通路不接触, 所以

$$\Delta_2 = 1 - \sum_a L_a = 1 + G_2 H_2$$

6.9.2 信号流图

$$\Delta = 1 + (G_1 H_1 + G_2 H_2 + G_3 H_3 + G_1 G_2 G_3 H_4) + G_1 G_3 H_1 H_3$$

$$G_1 = H_1 H_2 H_3 H_5, \quad \Delta_1 = 1$$

$$G_2 = H_4 H_5, \quad \Delta_2 = 1 - \sum_a L_a = 1 + G_2 H_2$$

$$\therefore H = \frac{1}{\Delta} \sum_K G_K \Delta_K = \frac{1}{\Delta} (G_1 \Delta_1 + G_2 \Delta_2)$$

$$= \frac{H_1 H_2 H_3 H_5 + H_4 H_5 (1 + G_2 H_2)}{1 + G_1 H_1 + G_2 H_2 + G_3 H_3 + G_1 G_2 G_3 H_4 + G_1 G_3 H_1 H_3}$$

6.9.3 系统模拟

1. 直接形式

设
$$\frac{d^2 y(t)}{dt^2} + a_1 \frac{dy(t)}{dt} + a_0 y(t) = b_2 \frac{d^2 x(t)}{dt^2} + b_1 \frac{dx(t)}{dt} + b_0 x(t)$$

则系统函数为
$$H(s) = \frac{Y(s)}{X(s)} = \frac{b_2 s^2 + b_1 s + b_0}{s^2 + a_1 s + a_0} = \frac{b_2 + b_1 s^{-1} + b_0 s^{-2}}{1 + a_1 s^{-1} + a_0 s^{-2}}$$

$$H(s) = \frac{Y(s)}{X(s)} = \frac{W(s)}{X(s)} \cdot \frac{Y(s)}{W(s)} = H_1(s) H_2(s)$$

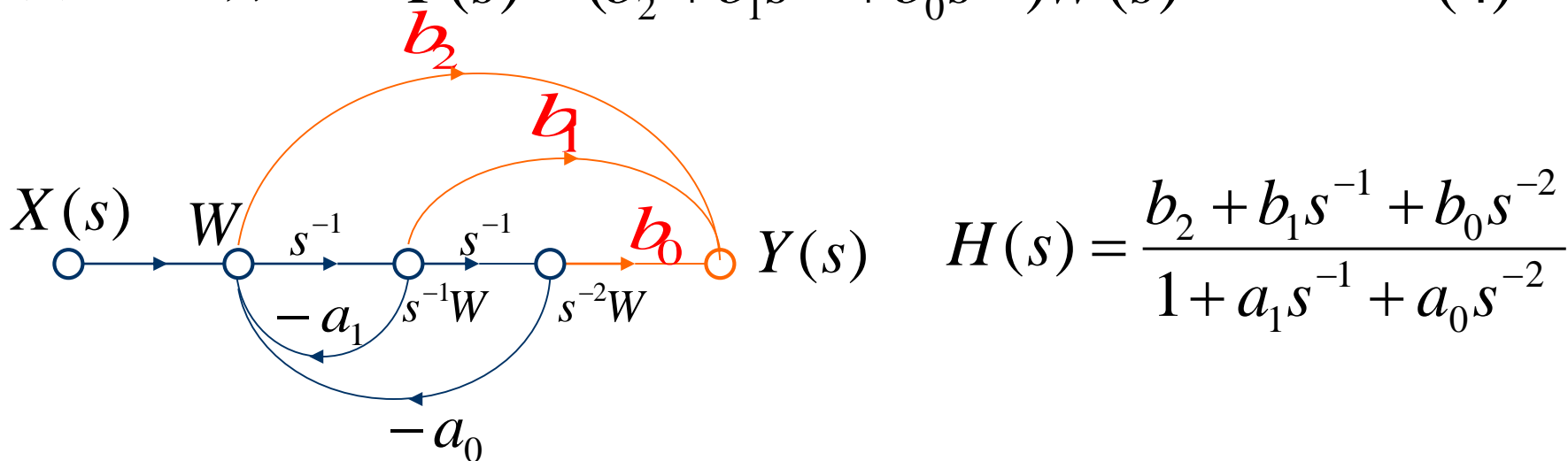
6.9.3 系统模拟

其中: $H_1(s) = \frac{W(s)}{X(s)} = \frac{1}{1 + a_1s^{-1} + a_0s^{-2}}$ (1) ----- 取分母部分

$H_2(s) = \frac{Y(s)}{W(s)} = b_2 + b_1s^{-1} + b_0s^{-2}$ (2) ----- 取分子部分

由 (1) 得: $W(s) = X(s) - a_1s^{-1}W(s) - a_0s^{-2}W(s)$ (3)

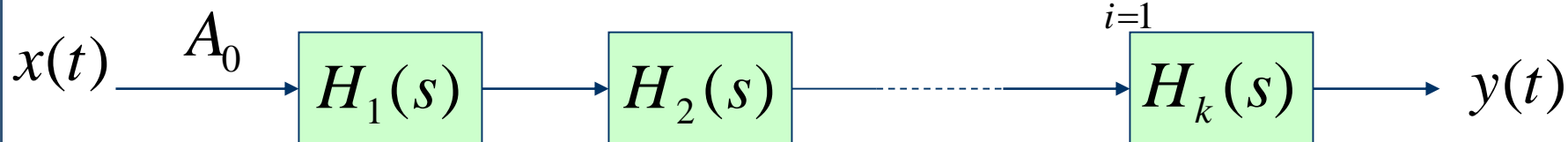
由 (2) 得: $Y(s) = (b_2 + b_1s^{-1} + b_0s^{-2})W(s)$ (4)



6.9.3 系统模拟

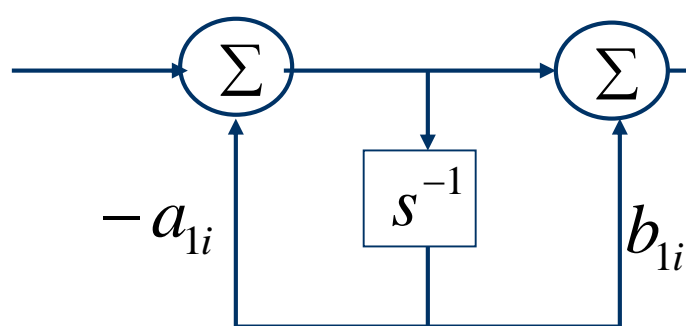
2. 级联形式（串联形式）

$$H(s) = A_0 H_1(s) H_2(s) \cdots H_k(s) = A_0 \prod_{i=1}^k H_i(s)$$

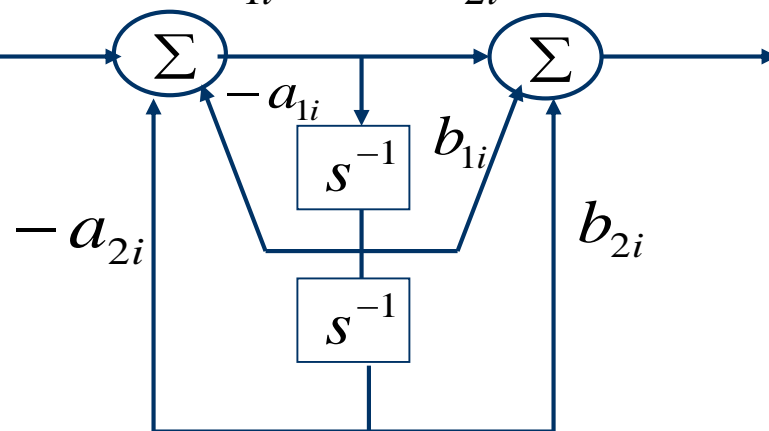


$$H_i(s) = \frac{1 + b_{1i}s^{-1}}{1 + a_{1i}s^{-1}} \quad \text{一阶节}$$

$$H_i(s) = \frac{1 + b_{1i}s^{-1} + b_{2i}s^{-2}}{1 + a_{1i}s^{-1} + a_{2i}s^{-2}} \quad \text{二阶节}$$



（一阶节）

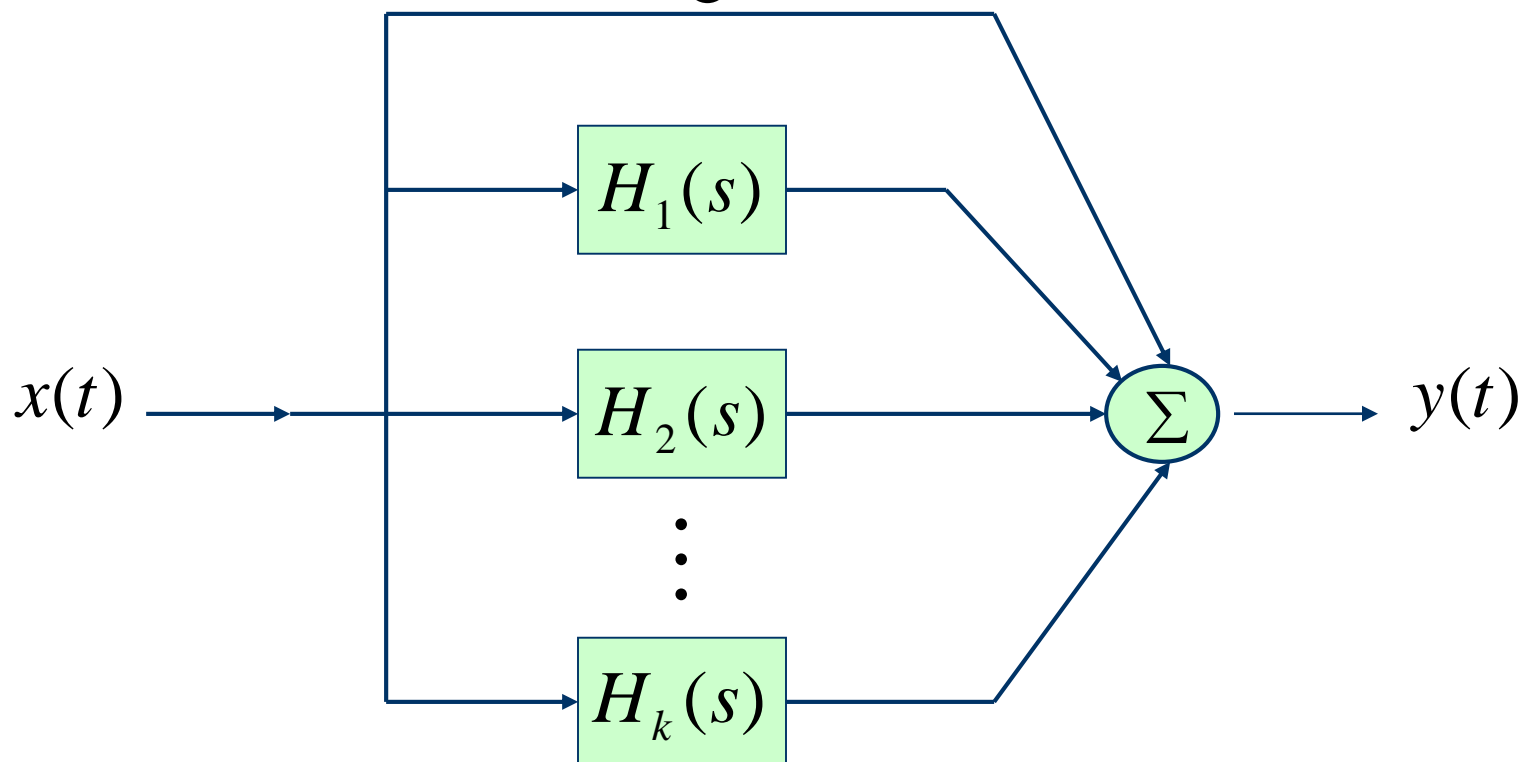


（二阶节）

6.9.3 系统模拟

3. 并联形式

$$H(s) = \underset{C}{C} + H_1(s) + H_2(s) + \cdots + H_k(s) = C + \sum_{i=1}^k H_i(s)$$



6.9.3 系统模拟

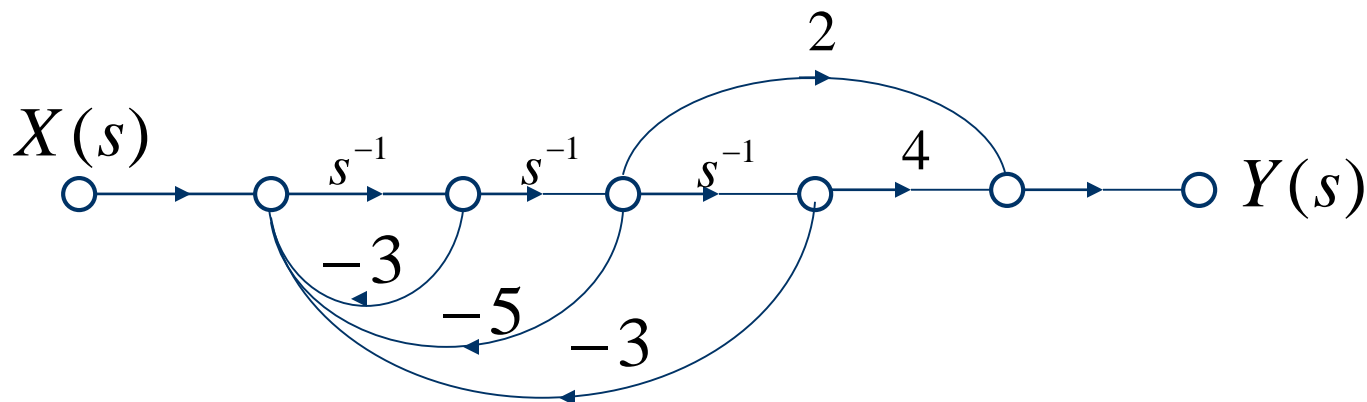
例6.9-2: 已知 $H(s) = \frac{2s + 4}{s^3 + 3s^2 + 5s + 3}$

试分别用直接形

式、级联形式和并联形式模拟此系统。

解: (1) 直接形式

$$H(s) = \frac{2s^{-2} + 4s^{-3}}{1 + 3s^{-1} + 5s^{-2} + 3s^{-3}}$$



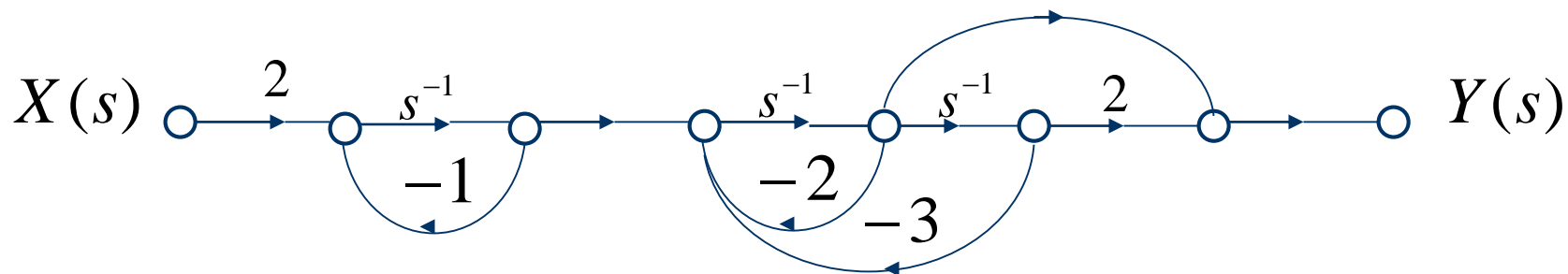
6.9.3 系统模拟

(2) 级联形式

$$H(s) = \frac{2s + 4}{s^3 + 3s^2 + 5s + 3} = \frac{2(s + 2)}{(s + 1)(s^2 + 2s + 3)}$$

$$H_1(s) = \frac{2}{s + 1} = \frac{2s^{-1}}{1 + s^{-1}}$$

$$H_2(s) = \frac{s + 2}{s^2 + 2s + 3} = \frac{s^{-1} + 2s^{-2}}{1 + 2s^{-1} + 3s^{-2}}$$

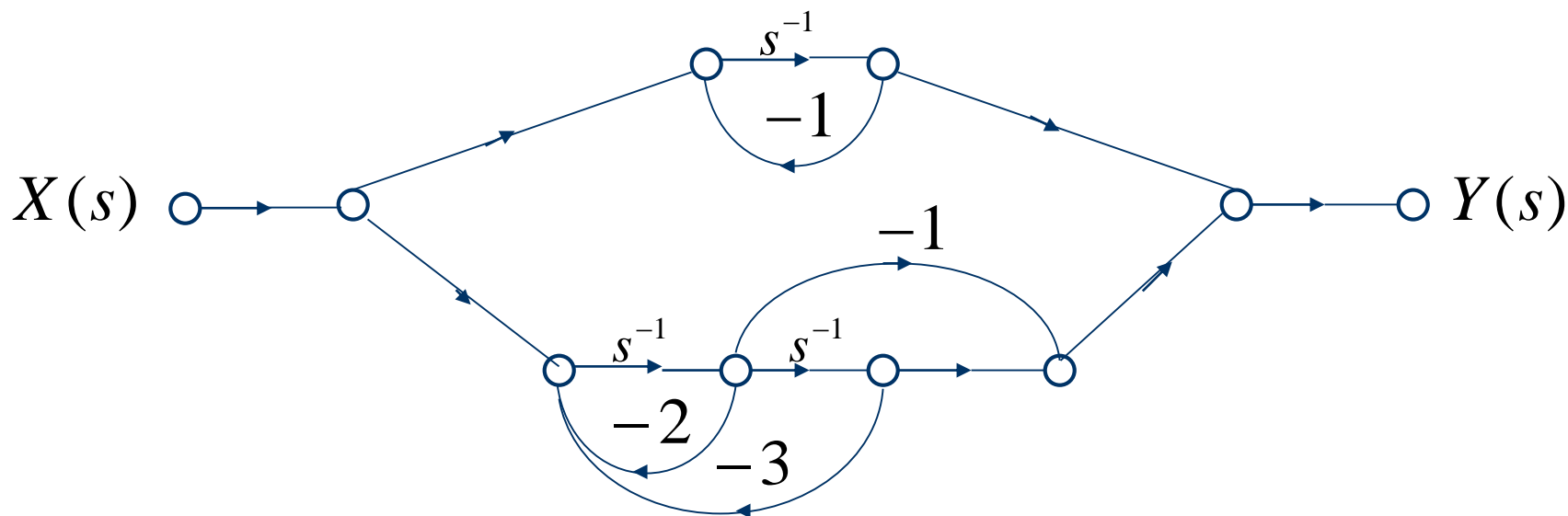


6.9.3 系统模拟

(3) 并联形式

$$H(s) = \frac{2s+4}{(s+1)(s^2+2s+3)} = \frac{1}{s+1} + \frac{-s+1}{s^2+2s+3}$$

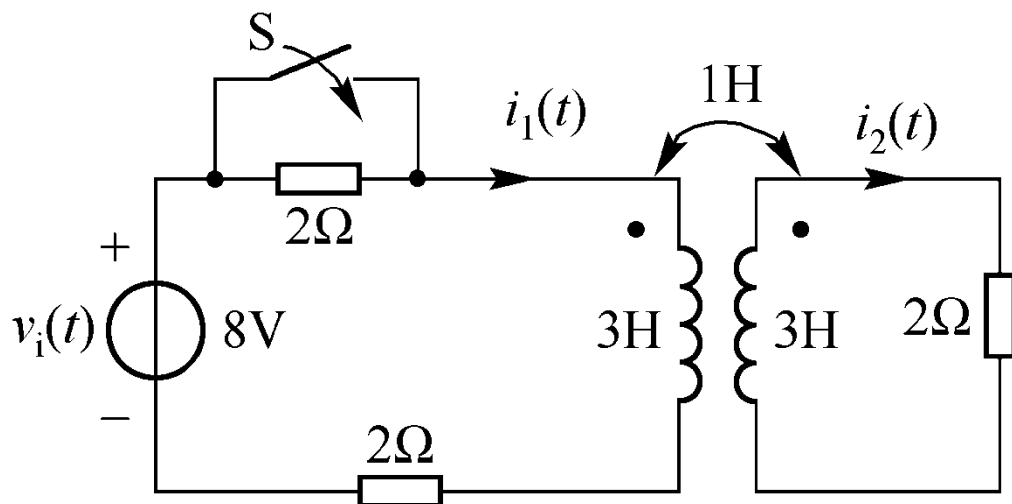
$$H_1(s) = \frac{1}{s+1} = \frac{s^{-1}}{1+s^{-1}}, \quad H_2(s) = \frac{-s+1}{s^2+2s+3} = \frac{-s^{-1}+s^{-2}}{1+2s^{-1}+3s^{-2}}$$



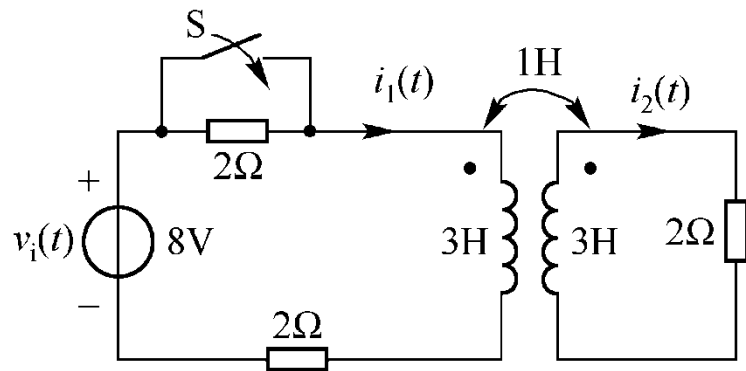
6.9.3 系统模拟

例6.9-3 电路如下图所示，当 $t < 0$ 时，S打开，电路已达稳定。当 $t = 0$ 时，闭合S。当 $t > 0$ 后，求：

- (1) 电流 $i_2(t)$ 的零输入响应和零状态响应；
- (2) 系统函数 $H(s) = I_2(s)/V_i(s)$
- (3) 画出系统零极点图和幅频特性曲线；
- (4) 画出系统并联结构的方框图或信号流图。

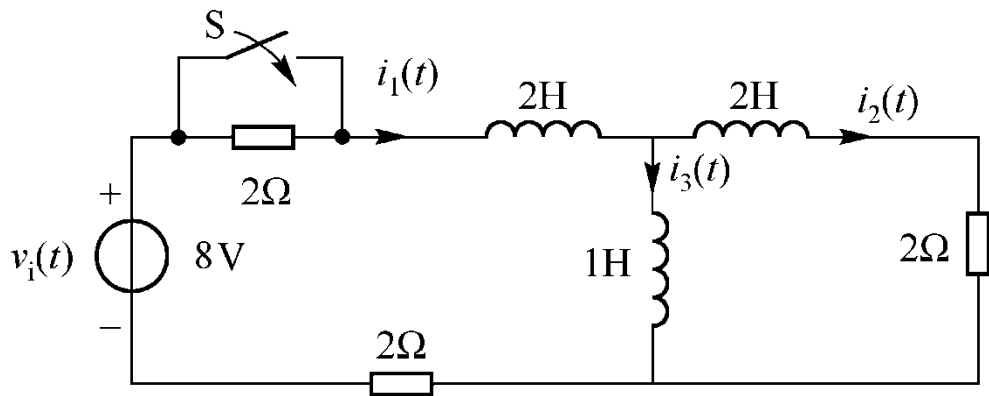


6.9.3 系统模拟

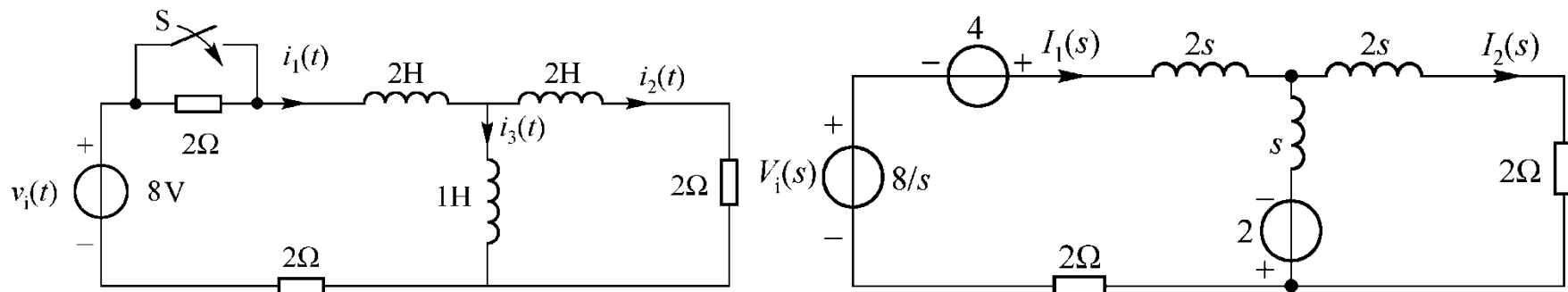


解：（1）图示电路的去耦等效电路如下所示。当 $t < 0$ 时，电路已达稳定，则各电流的起始值为

$$i_1(0^-) = i_3(0^-) = \frac{8}{2+2} = 2\text{A} \quad i_2(0^-) = 0$$



6.9.3 系统模拟



根据电路的 s 域模型，可以得到下列方程组

$$\begin{cases} (3s + 2)I_1(s) - sI_2(s) = V_i(s) + 4 + 2 \\ -sI_1(s) + (3s + 2)I_2(s) = -2 \end{cases}$$

$$I_2(s) = \frac{\begin{vmatrix} 3s + 2 & V_i(s) + 6 \\ -s & -2 \end{vmatrix}}{\begin{vmatrix} 3s + 2 & -s \\ -s & 3s + 2 \end{vmatrix}} = \frac{sV_i(s) - 4}{8s^2 + 12s + 4}$$

6.9.3 系统模拟

$$I_2(s) = \frac{sV_i(s) - 4}{8s^2 + 12s + 4}$$

$$I_{2zi}(s) = \frac{-4}{8s^2 + 12s + 4} = \frac{-1}{(2s+1)(s+1)} = \frac{1}{s+1} - \frac{1}{s+0.5}$$

$$i_{2zi}(t) = e^{-t} - e^{-0.5t} \quad t \geq 0$$

$$I_{2zs}(s) = \frac{sV_i(s)}{8s^2 + 12s + 4} = \frac{8}{4(2s+1)(s+1)} = \frac{-2}{s+1} + \frac{2}{s+0.5}$$

$$i_{2zs}(t) = 2e^{-0.5t} - 2e^{-t} \quad t \geq 0$$

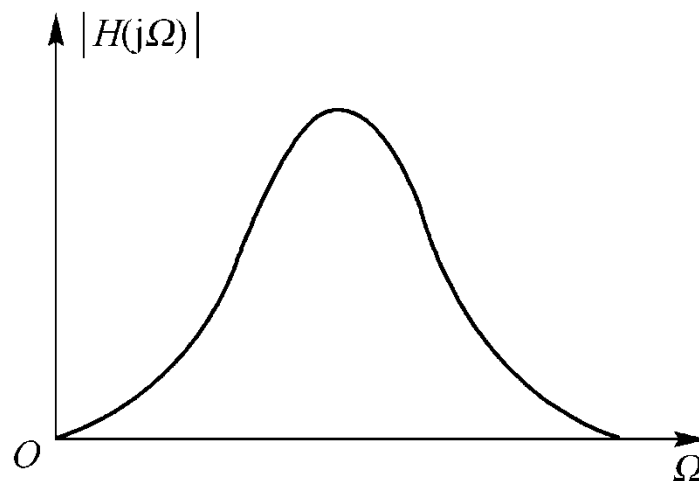
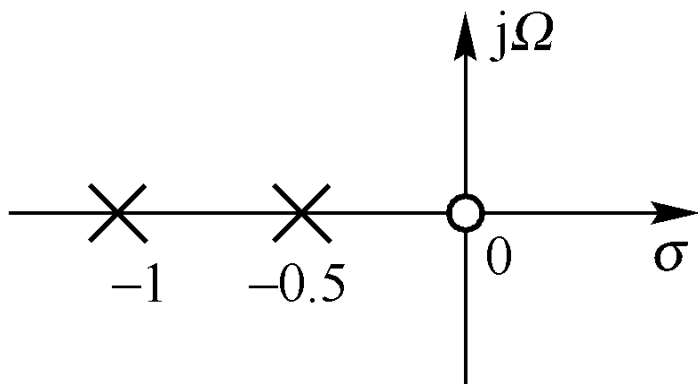
6.9.3 系统模拟

$$I_2(s) = \frac{sV_i(s) - 4}{8s^2 + 12s + 4}$$

(2) 系统函数

$$H(s) = \frac{I_{2zs}(s)}{V_i(s)} = \frac{s}{8s^2 + 12s + 4} = \frac{s}{8(s+1)(s+0.5)}$$

(3) 系统函数的零、极点分布图和幅频特性

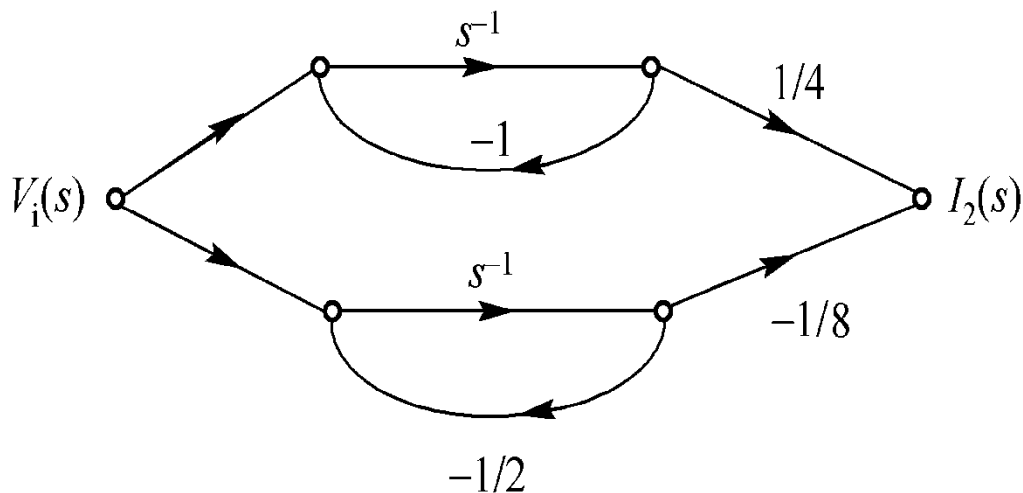


6.9.3 系统模拟

(4)

$$H(s) = \frac{s}{8(s+1)\left(s + \frac{1}{2}\right)} = \frac{1}{4(s+1)} - \frac{1}{8\left(s + \frac{1}{2}\right)} = \frac{s^{-1}}{4(1+s^{-1})} - \frac{s^{-1}}{8\left(1 + \frac{1}{2}s^{-1}\right)}$$

系统并联结构的信号流图如图所示。



6.10 系统的稳定性

6.10.1 稳定系统的定义

对于有界激励信号产生有界响应的系统称为稳定系统。

即：对于 $|x(t)| \leq M_x$ ，则 $|y(t)| \leq M_y$ ，其中， M_x, M_y 均为有限正数。

6.10.2 系统稳定的条件

1. 时域的稳定的条件

$$\int_{-\infty}^{\infty} |h(t)| dt \leq M$$

M : 有限正数

或： $\lim_{t \rightarrow \infty} h(t) = 0$ ，且 $|h(t)| < \infty \quad 0 < t < \infty$

2. s 域的稳定的条件----- $H(s)$ 的全部极点都落于左半 s 平面。

6.10.2 系统稳定的条件

从稳定性考虑，系统可划分为下述三类系统：

- (1) 稳定系统 ----- $H(s)$ 的全部极点在左半 s 平面。
- (2) 不稳定系统 ----- $H(s)$ 有极点在右半 s 平面，或在虚轴上具有二阶或二阶以上的极点。
- (3) 边界稳定系统 ----- $H(s)$ 有一阶极点在 s 平面的虚轴上，其它极点都在左半 s 平面。

为使分类简化，可以把边界稳定系统也归为稳定系统。

判断 $H(s)$ 的极点是否全部位于左半 s 平面，可以利用劳斯准则（参见附录D）。

6.10.2 系统稳定的条件

对于一阶、二阶系统，系统稳定的充要条件为：

$H(s)$ 分母多项式 $A(s)$ 的系数 a_i 满足

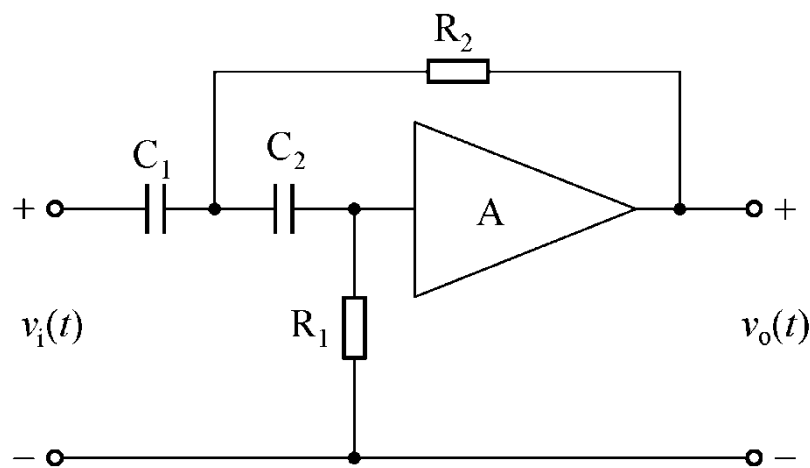
$$a_i \geq 0, \quad i = 0, 1, 2$$

(取等号表示边界稳定)

例6.10-1 已知图示的运算放大器的电压传输系数为 A ，假定其输入阻抗等于无限大，输出阻抗等于零。

(1) 求系统函数 $H(s) = \frac{V_o(s)}{V_i(s)}$

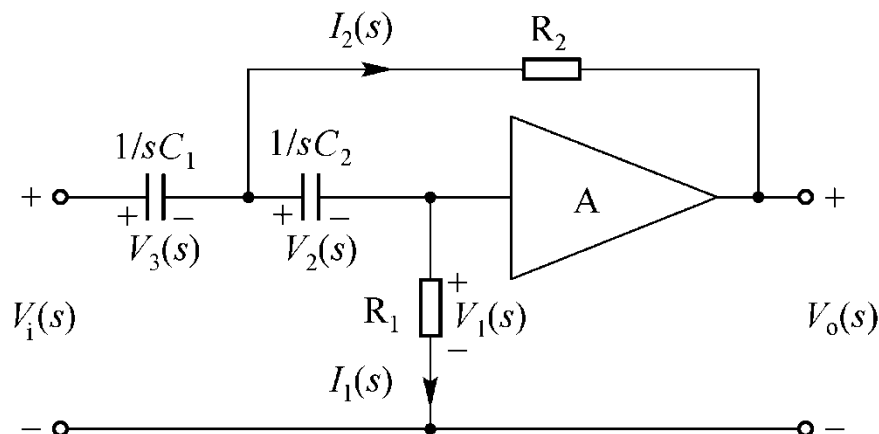
(2) 要使系统稳定，则电压传输系数 A 应满足怎样的条件？



6.10.2 系统稳定的条件

解: (1) 画出该电路的s域模型

$$V_1(s) = \frac{V_0(s)}{A} \quad I_1(s) = \frac{V_0(s)}{AR_1}$$



电容 C_2 两端的电压的像函数为:

$$V_2(s) = \frac{1}{sC_2} I_1(s) = \frac{V_0(s)}{AsR_1C_2}$$

流过电阻 R_2 的电流的像函数为:

$$I_2(s) = \frac{V_1(s) + V_2(s) - V_0(s)}{R_2} = \frac{V_0(s)}{AsR_1R_2C_2} [(1-A)sR_1C_2 + 1]$$

电容 C_1 两端的电压的像函数为:

$$V_3(s) = \frac{1}{sC_1} [I_1(s) + I_2(s)] = \frac{V_0(s)}{As^2R_1R_2C_1C_2} [sR_2C_2 + (1-A)sR_1C_2 + 1]$$

6.10.2 系统稳定的条件

因为 $V_1(s) + V_2(s) + V_3(s) = V_i(s)$

$$\frac{V_o(s)}{A} + \frac{V_o(s)}{AsR_1C_2} + \frac{V_o(s)}{As^2R_1R_2C_1C_2} [sR_2C_2 + (1-A)sR_1C_2 + 1] = V_i(s)$$

$$H(s) = \frac{V_o(s)}{V_i(s)} = \frac{As^2}{s^2 + \left[\frac{C_1 + C_2}{R_1C_1C_2} + \frac{1-A}{R_2C_1} \right] s + \frac{1}{R_1R_2C_1C_2}}$$

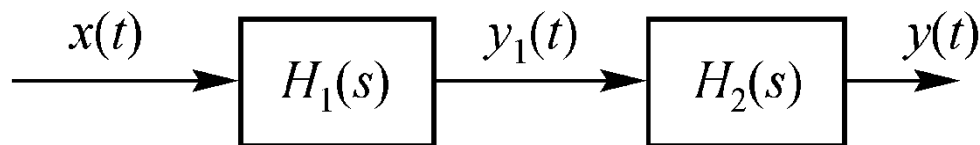
(2) 为使此系统稳定, $H(s)$ 的极点应落于左半 s 平面,

$$\frac{C_1 + C_2}{R_1C_1C_2} + \frac{1-A}{R_2C_1} \geq 0 \quad (\text{取等号为边界稳定})$$

$$A \leq 1 + \frac{R_2}{R_1} + \frac{R_2C_1}{R_1C_2} \quad \text{系统稳定}$$

6.10.2 系统稳定的条件

例6.10-2 已知连续系统由两个子系统级联而成，如图所示，若描述两个子系统的微分方程分别为



$$\frac{dy_1(t)}{dt} + y_1(t) = \frac{dx(t)}{dt} - 2x(t)$$

$$\frac{dy(t)}{dt} + 2y(t) = y_1(t)$$

- (1) 求每个子系统的系统函数 $H_1(s)$, $H_2(s)$ 及整个系统的单位冲激响应 $h(t)$;
- (2) 画出系统的零极点图，判断系统的稳定性，并粗略画出总系统 $H(s)$ 的幅频特性曲线；
- (3) 画出整个系统的直接型信号流图。

6.10.2 系统稳定的条件

解：（1）分别对两个子系统的微分方程的两边求拉氏变换（设系统起始条件为零）。

$$sY_1(s) + Y_1(s) = sX(s) - 2X(s)$$

$$sY(s) + 2Y(s) = Y_1(s)$$

$$H_1(s) = \frac{Y_1(s)}{X(s)} = \frac{s-2}{s+1} \qquad H_2(s) = \frac{Y(s)}{Y_1(s)} = \frac{1}{s+2}$$

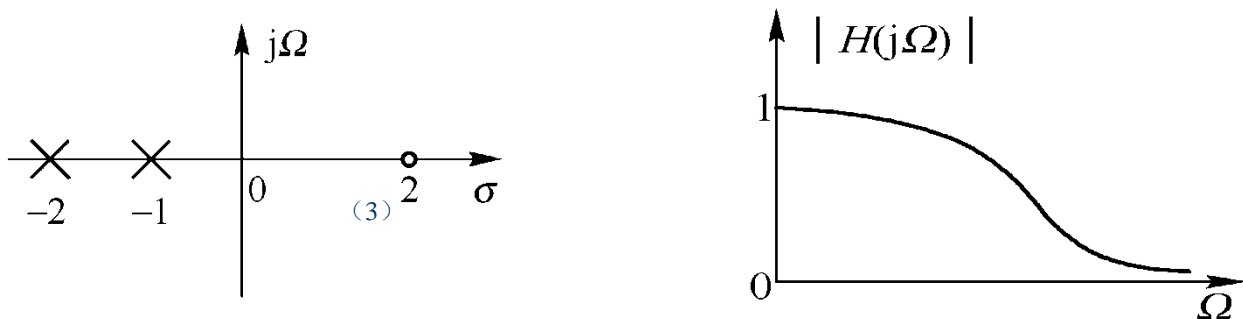
总系统的系统函数为：

$$H(s) = H_1(s)H_2(s) = \frac{s-2}{(s+1)(s+2)} = \frac{4}{s+2} - \frac{3}{s+1}$$

单位冲激响应为： $h(t) = 4e^{-2t} - 3e^{-t} \quad t \geq 0$

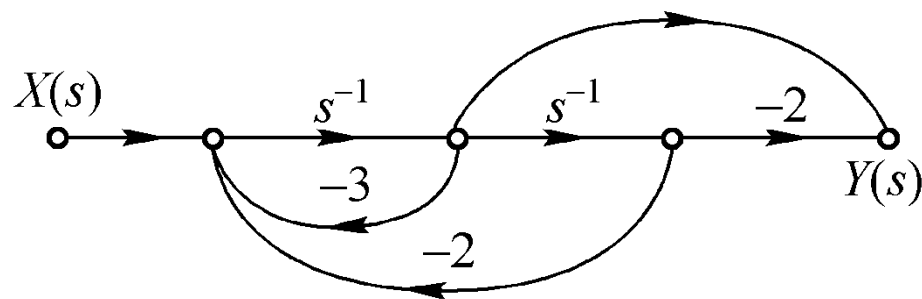
6.10.2 系统稳定的条件

(2) 系统的零、极点分别为 $z_1 = 2$, $p_1 = -1$, $p_2 = -2$
如图所示。幅频特性曲线如图所示。



(3)
$$H(s) = \frac{s-2}{(s+1)(s+2)} = \frac{s-2}{s^2+3s+2} = \frac{s^{-1}-2s^{-2}}{1+3s^{-1}+2s^{-2}}$$

根据上式可画出系统直接型信号流图，如图所示。



6.11 MATLAB在连续系统复频域分析中的应用

例6.11-1 已知连续时间系统的系统函数为：

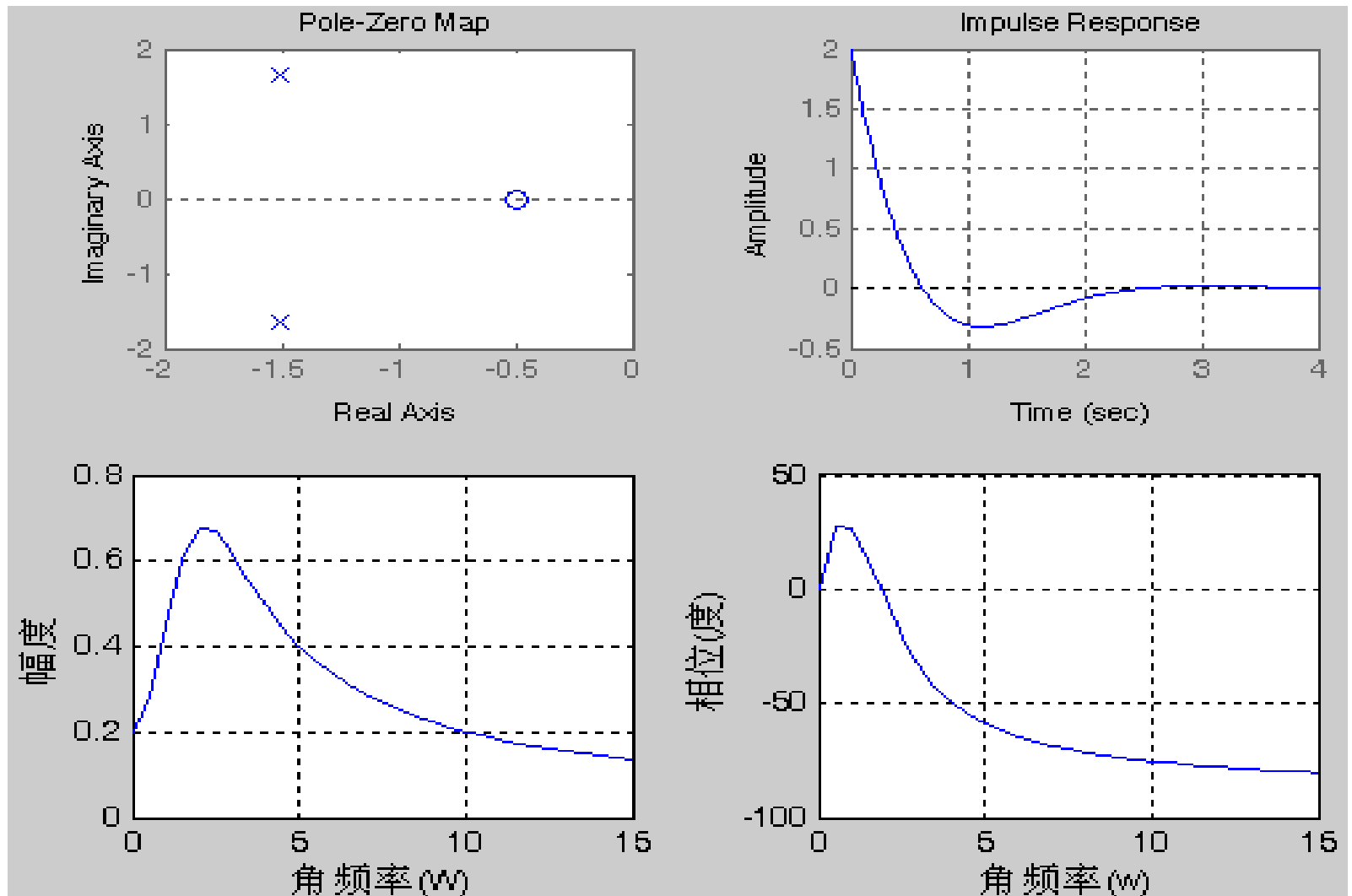
$$H(s) = \frac{2s + 1}{s^2 + 3s + 5}$$

用MATLAB绘制其零、极点图，对应的冲激响应 $h(t)$ 的波形，以及系统的幅频特性和相频特性曲线。

解：

```
num=[2 1];den=[1 3 5];           %系统函数的分子与分母多项式
sys=tf(num,den);w=0:0.5:15;       %w=0:0.5:15，系统频响特性的频率范
subplot(2,2,1);pzmap(sys);        %绘制零极点图
subplot(2,2,2);impz(sys);grid;    %绘制冲激响应波形
[h,w]=freqs(num,den,w);           %求系统响应函数H(jw)
h1=abs(h); h2=angle(h);           %求幅频特性和相频特性
subplot(2,2,3);plot(w,h1);grid; xlabel('角频率(W));ylabel('幅度');
subplot(2,2,4);plot(w,h2*180/pi);grid; xlabel('角频率(w));ylabel('相位(度));
```

6.11 MATLAB在连续系统复频域分析中的应用



6.11 MATLAB在连续系统复频域分析中的应用

例 6.11-3 已知连续系统的极点位置为 $p_1 = -2 + j3$, $p_2 = -2 - j3$, 四个不同的零点位置如下所示:

(1) $z_1 = 1, z_2 = -2$

(2) $z_1 = -1, z_2 = -2$

(3) $z_1 = -1, z_2 = 2$

(4) $z_1 = 1, z_2 = 2$

绘制不同系统的相频特性, 观察不同系统的相频特性, 可以得出什么结论?

解: 根据系统的零极点位置, 可以得到四个系统的系统函数如下:

$$H_1(s) = \frac{s^2 + s - 2}{s^2 + 4s + 13}$$

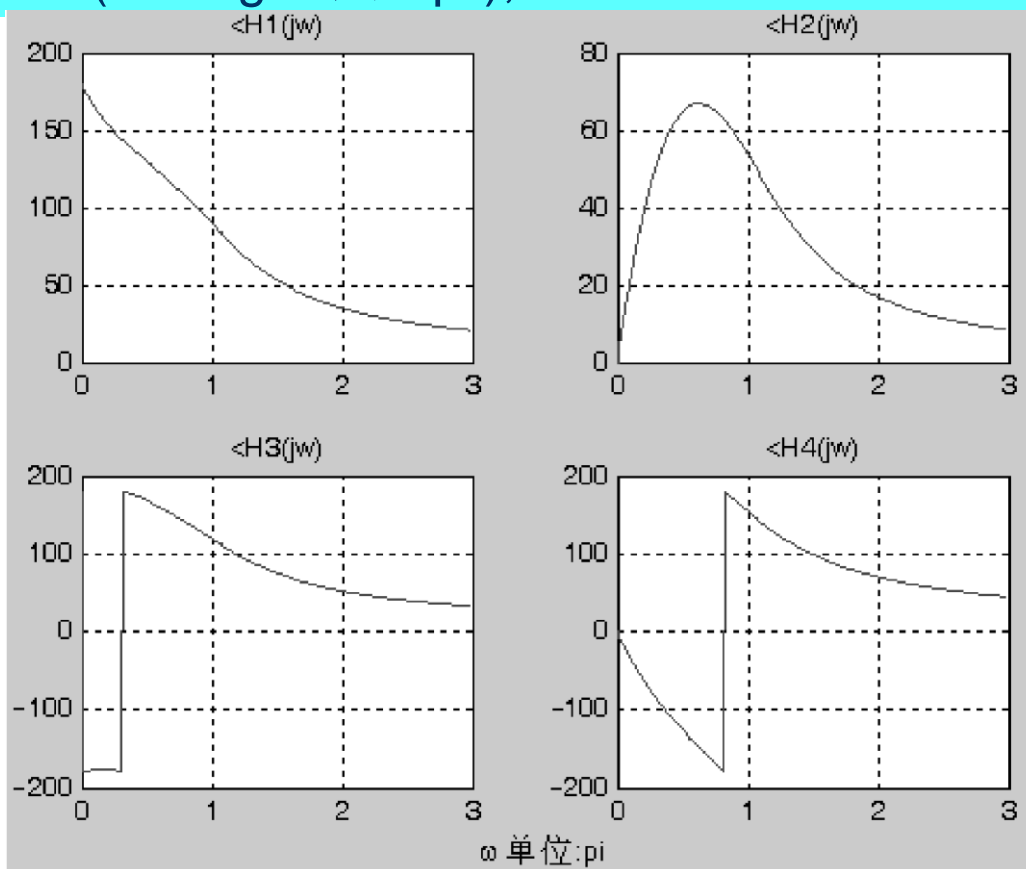
$$H_2(s) = \frac{s^2 + 3s + 2}{s^2 + 4s + 13}$$

$$H_3(s) = \frac{s^2 - s - 2}{s^2 + 4s + 13}$$

$$H_4(s) = \frac{s^2 - 3s + 2}{s^2 + 4s + 13}$$

6.11 MATLAB在连续系统复频域分析中的应用

```
den=[1 4 13];num1=[1 1 -2];num2=[1 3 2]; num3=[1 -1 -2];  
num4=[1 -3 2];w=0:0.05:3*pi;  
[h1,w]=freqs(num1,den,w); subplot(2,2,1);  
plot(w/pi,angle(h1)*180/pi);grid;title('<H1(jw)');  
xlabel('\omega 单位:pi');
```



观察系统的相频特性可以得出：系统 $H_2(s)$ 的相位差最小，其原因是系统 $H_2(s)$ 的零极点均在 s 左半平面，这样的系统是最小相位系统。

6.11 MATLAB在连续系统复频域分析中的应用

例6.11-4 用MATLAB绘制矩形脉冲 $f(t) = u(t) - u(t - 2)$

的拉普拉斯变换的幅度曲面图，以及该信号的傅里叶变换的幅度谱曲线。

解：上述信号的拉普拉斯变换和傅里叶变换为

$$F(s) = (1 - e^{-2s}) / s, \quad F(j\Omega) = 2\text{Sa}(\Omega)e^{-j\Omega}$$

为了观察和分析信号的拉普拉斯变换随复变量 s 的变化关系，可以将写成模和辐角的形式，

$$|F(s)|e^{j\varphi(s)}$$

$|F(s)|$ 随复变量 s 变化的曲面图称为幅度曲面图，

$\varphi(s)$ 随复变量 s 变化的曲面图称为相位曲面图。

6.11 MATLAB在连续系统复频域分析中的应用

%绘制矩形时间信号傅里叶变换曲线

w=-10:0.03:10;Fw=(2*sin(w).*exp(i*w))./w; %确定频率范围,计算傅里叶变换

subplot(121);plot(w,abs(Fw));xlabel('频率\omega'); %绘制信号幅度频谱曲线

title('傅里叶变换(幅度频谱曲线)');

%绘制单边矩形脉冲信号拉普拉斯变换幅度曲面图

x=-0:0.07:5;y=-10:0.07:10;

%定义绘制曲面图的横坐标和纵坐标范围

[x,y]=meshgrid(x,y);

%产生等间隔取样点

z=x+i*y;

%确定绘图区域

z=abs((1-exp(-2*z))./z);

%求拉普拉斯变换的幅度

subplot(122);mesh(x,y,z);

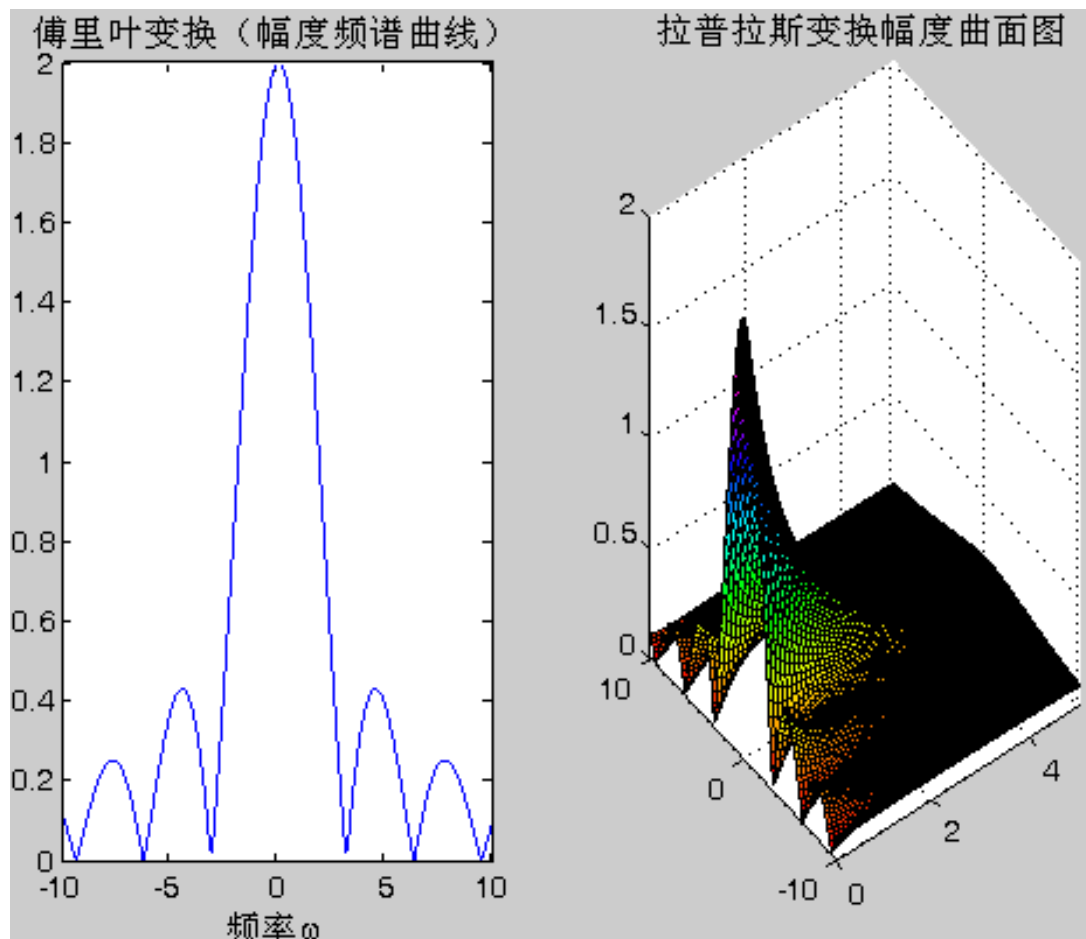
%绘制曲面图

surf(x,y,z);

%绘制三维阴影曲面

axis([-0.5, -10,10,0,2]);title('拉普拉斯变换幅度曲面图');

6.11 MATLAB在连续系统复频域分析中的应用



傅里叶变换的幅度谱曲线就是拉普拉斯变换幅度曲面图在 $\sigma = 0$ 的切面。

本章小结

1. 连续信号的拉氏变换：意义，性质
及其与傅氏变换的关系
2. 拉氏逆变换的求解
3. 系统函数的意义、求解及应用，
系统零极点的意义
4. 系统频响特性的意义，
根据系统的零极点图判断系统的频响特性
5. 系统框图及系统模拟（信号流图）
6. 系统的稳定性